

Koordinationschemie funktioneller Phosphine: Carbonyl- und Carbonyl(nitrosyl)wolfram-Derivate von 2-Diphenylphosphinoanilin und 2-Diphenylphosphinobenzoesäure *

Jörg Pietsch **, Alexander Wolski, Lutz Dahlenburg und Matthias Moll

Institut für Anorganische Chemie der Friedrich-Alexander-Universität Erlangen-Nürnberg, Egerlandstr. 1, D-91058 Erlangen (Deutschland)

Heinz Berke, Dario Véghini und Igor Leonidovich Eremenko

Anorganisch-chemisches Institut der Universität Zürich, Winterthurer Str. 190, CH-8057 Zürich (Schweiz)

(Eingegangen den 20. Oktober 1993)

Abstract

Replacement of CO by monodentate phosphines PR_3 in $[\text{W}(\text{CO})_5\text{Cl}]^-$, followed by treatment with $\text{Ph}_2\text{PC}_6\text{H}_4\text{X}-2$ of the resulting anions $[\text{W}(\text{CO})_4(\text{PR}_3)\text{Cl}]^-$, afforded the mixed phosphine complexes $[\text{W}(\text{CO})_4(\text{PR}_3)(\text{Ph}_2\text{PC}_6\text{H}_4\text{X}-2)]$ ($\text{PR}_3 = \text{PMe}_3, \text{PBu}_3, \text{PPh}_2\text{Me}$ and PPh_3) **1a–1d** ($\text{X} = \text{NH}_2$) and **2a–2d** ($\text{X} = \text{CO}_2\text{H}$), respectively. $[\text{W}(\text{CO})_4(\text{Ph}_2\text{PC}_6\text{H}_4\text{NH}_2-2)\text{Cl}]^-$ (**3**), prone to further transformation into $[\text{W}(\text{CO})_4(\eta^2\text{-Ph}_2\text{PC}_6\text{H}_4\text{NH}_2-2)]$ (**4**) after loss of Cl^- , resulted from initial interaction of $[\text{W}(\text{CO})_5\text{Cl}]^-$ with $\text{Ph}_2\text{PC}_6\text{H}_4\text{NH}_2-2$. Except for minor quantities of $[\text{W}(\text{CO})_3(\text{NO})(\text{PPh}_2\text{Me})(\text{Ph}_2\text{PC}_6\text{H}_4\text{CO}_2\text{H}-2)][\text{BF}_4]$ (**5**), no well-defined nitrosyl products were accessible from reactions of tetracarbonyls **1** and **2** with NO^+ salts. Such derivatives, *viz.*, $[\text{W}(\text{CO})_3(\text{NO})(\text{PR}_3)(\text{Ph}_2\text{PC}_6\text{H}_4\text{NH}_2-2)][\text{PF}_6]$ (**6**), by rapidly ejecting CO under formation of the more stable $[\text{W}(\text{CO})_2(\text{NO})(\text{PR}_3)(\eta^2\text{-Ph}_2\text{PC}_6\text{H}_4\text{NH}_2-2)][\text{PF}_6]$ ($\text{PR}_3 = \text{PMe}_3$: **7a**; PPh_2Me : **7b**), $[\text{W}(\text{CO})_2(\text{NO})(\eta^1\text{-Ph}_2\text{PC}_6\text{H}_4\text{NH}_2-2)(\eta^2\text{-Ph}_2\text{PC}_6\text{H}_4\text{NH}_2-2)][\text{A}]$ ($\text{A} = \text{SbF}_6$: **8-SbF₆**; BF_4 : **8-BF₄**) and $[\text{W}(\text{CO})(\text{NO})(\eta^2\text{-Ph}_2\text{PC}_6\text{H}_4\text{NH}_2-2)][\text{BF}_4]$ (**9**), could be synthesized via displacement reactions of loosely-coordinated ligands (FPPF_5^- and MeCN) by $\text{Ph}_2\text{PC}_6\text{H}_4\text{NH}_2-2$ from pre-formed nitrosyl species, *e.g.*, $[\text{W}(\text{CO})_3(\text{NO})(\text{PR}_3)(\text{FPPF}_5)]$ and $[\text{W}(\text{CO})_2(\text{NO})(\text{MeCN})_3]^+$, respectively. The structure of the complexes $[\text{NEt}_4][\text{W}(\text{CO})_4(\text{PPh}_2\text{Me})\text{Cl}], [\text{W}(\text{CO})_4(\text{PPh}_2\text{Me})(\text{Ph}_2\text{PC}_6\text{H}_4\text{NH}_2-2)]$ (**1c**), $[\text{NEt}_4]_2[(\text{W}(\text{CO})_4(\eta^2\text{-Ph}_2\text{PC}_6\text{H}_4\text{NH}_2-2))_2\text{Cl}_2]$ ("4 · [NEt₄]Cl"), $[\text{W}(\text{CO})_2(\text{NO})(\text{PMe}_3)(\eta^2\text{-Ph}_2\text{PC}_6\text{H}_4\text{NH}_2-2)][\text{PF}_6]$ (**7a**), $[\text{W}(\text{CO})_2(\text{NO})(\eta^1\text{-Ph}_2\text{PC}_6\text{H}_4\text{NH}_2-2)(\eta^2\text{-Ph}_2\text{PC}_6\text{H}_4\text{NH}_2-2)][\text{SbF}_6]$ (**8-SbF₆**, as an addition compound with 0.5Et₂O and 0.5CH₂Cl₂), and $[\text{W}(\text{CO})(\text{NO})(\eta^2\text{-Ph}_2\text{PC}_6\text{H}_4\text{NH}_2-2)][\text{BF}_4]$ (**9**, containing 1H₂O of crystallization) have been determined by single-crystal X-ray diffraction studies.

Zusammenfassung

Durch Austausch von CO gegen einzähnige Phosphine PR_3 in $[\text{W}(\text{CO})_5\text{Cl}]^-$ und nachfolgende Umsetzung der so erhaltenen Anionen $[\text{W}(\text{CO})_4(\text{PR}_3)\text{Cl}]^-$ mit $\text{Ph}_2\text{PC}_6\text{H}_4\text{X}-2$ wurden die gemischt substituierten Komplexe $[\text{W}(\text{CO})_4(\text{PR}_3)(\text{Ph}_2\text{PC}_6\text{H}_4\text{X}-2)]$ mit $\text{PR}_3 = \text{PMe}_3, \text{PBu}_3, \text{PPh}_2\text{Me}$ und PPh_3 , **1a–1d** ($\text{X} = \text{NH}_2$) bzw. **2a–2d** ($\text{X} = \text{CO}_2\text{H}$), erhalten. Aus $[\text{W}(\text{CO})_5\text{Cl}]^-$ und $\text{Ph}_2\text{PC}_6\text{H}_4\text{NH}_2-2$ entstand das wenig stabile $[\text{W}(\text{CO})_4(\text{Ph}_2\text{PC}_6\text{H}_4\text{NH}_2-2)\text{Cl}]^-$ (**3**), welches unter Abspaltung von Chlorid zu $[\text{W}(\text{CO})_4(\eta^2\text{-Ph}_2\text{PC}_6\text{H}_4\text{NH}_2-2)]$ (**4**) weiterreagierte. Mit Ausnahme des in geringen Mengen isolierten Komplexes $[\text{W}(\text{CO})_3(\text{NO})(\text{PPh}_2\text{Me})(\text{Ph}_2\text{PC}_6\text{H}_4\text{CO}_2\text{H}-2)][\text{BF}_4]$ (**5**) ließen sich keine definierten Nitrosyl-Produkte aus **1** oder **2** und NO^+ -Salzen darstellen. Solche Derivate, nämlich $[\text{W}(\text{CO})_3(\text{NO})(\text{PR}_3)(\text{Ph}_2\text{PC}_6\text{H}_4\text{NH}_2-2)][\text{PF}_6]$ (**6**), welches unter rascher CO-Eliminierung in $[\text{W}(\text{CO})_2(\text{NO})(\text{PR}_3)(\eta^2\text{-Ph}_2\text{PC}_6\text{H}_4\text{NH}_2-2)][\text{PF}_6]$ ($\text{PR}_3 = \text{PMe}_3$: **7a**; PPh_2Me : **7b**) überging, $[\text{W}(\text{CO})_2(\text{NO})(\eta^1\text{-Ph}_2\text{PC}_6\text{H}_4\text{NH}_2-2)(\eta^2\text{-Ph}_2\text{PC}_6\text{H}_4\text{NH}_2-2)][\text{A}]$ ($\text{A} = \text{SbF}_6$: **8-SbF₆**; BF_4 : **8-BF₄**) und $[\text{W}(\text{CO})(\text{NO})(\eta^2\text{-Ph}_2\text{PC}_6\text{H}_4\text{NH}_2-2)][\text{BF}_4]$ (**9**), wurden aber über die Substitution schwach gebundener Liganden (FPPF_5^- und MeCN) durch $\text{Ph}_2\text{PC}_6\text{H}_4\text{NH}_2-2$ in vorgebildeten Nitrosyl-Spezies wie z.B. $[\text{W}(\text{CO})_3(\text{NO})(\text{PR}_3)(\text{FPPF}_5)]$ oder $[\text{W}(\text{CO})_2(\text{NO})(\text{MeCN})_3]^+$ erhalten. Folgende Verbindungen wurden durch Röntgenstrukturanalyse charakterisiert: $[\text{NEt}_4][\text{W}(\text{CO})_4(\text{PPh}_2\text{Me})\text{Cl}], [\text{W}(\text{CO})_4(\text{PPh}_2\text{Me})(\text{Ph}_2\text{PC}_6\text{H}_4\text{NH}_2-2)]$ (**1c**),

Correspondence to: Prof. Dr. L. Dahlenburg or Prof. Dr. H. Berke.

* Herr Professor Dr. H. Werner zum 60. Geburtstag gewidmet.

** Die Ergebnisse wurden den Arbeiten zur Dissertation von J. Pietsch entnommen.

$[\text{NEt}_4]_2[(\text{W}(\text{CO})_4(\eta^2\text{-Ph}_2\text{PC}_6\text{H}_4\text{NH}_2\text{-}2)]_2\text{Cl}_2$] ("4 · [NEt₄]Cl"), $[\text{W}(\text{CO})_2(\text{NO})(\text{PMe}_3)(\eta^2\text{-Ph}_2\text{PC}_6\text{H}_4\text{NH}_2\text{-}2)][\text{PF}_6]$ (**7a**), $[\text{W}(\text{CO})_2(\text{NO})(\eta^1\text{-Ph}_2\text{PC}_6\text{H}_4\text{NH}_2\text{-}2)(\eta^2\text{-Ph}_2\text{PC}_6\text{H}_4\text{NH}_2\text{-}2)][\text{SbF}_6]$ (**8-SbF₆**, als Additionsverbindung mit 0.5Et₂O und 0.5CH₂Cl₂), und $[\text{W}(\text{CO})(\text{NO})(\eta^2\text{-Ph}_2\text{PC}_6\text{H}_4\text{NH}_2\text{-}2)_2][\text{BF}_4]$ (**9**, als Monohydrat).

Key words: Phosphine; Tungsten; Carbonyl; Nitrosyl; X-ray diffraction

1. Einleitung

Die Reduktion der Carbonylfunktion durch Übertragung von H⁻ aus einer hydridischen Quelle und Addition von H⁺ aus einer protischen Quelle gehört zu den meistgenutzten Methoden der organischen Synthese. Zudem spielt die Übertragung von H⁻ und H⁺ als H₂-Äquivalent in biologischen Prozessen eine wesentliche Rolle. Für ionische Hydrierungen eignen sich neben den traditionellen Hydridderivaten von Hauptgruppenelementen auch Hydridokomplexe von Übergangsmetallen in Kombination mit Säuren unterschiedlicher Stärke [1–6]. Hier selbst wurde von der Züricher Arbeitsgruppe in mehreren Arbeiten dokumentiert, daß sich insbesondere auch phosphin- und phosphit-modifizierte Carbonylnitrosylwolframhydride $[\text{WH}(\text{CO})_2(\text{NO})\text{L}_2]$ in Gegenwart schwacher Säuren zur Reduktion von Aldehyden und Ketonen gut eignen [7,8]. Weiterhin gibt es Hinweise darauf, daß Hydrierungen von Estern und Ketonen mit Diwasserstoff-Komplexen [9,10] über ein sich rasch einstellendes Gleichgewicht " $\text{L}_n\text{M}(\eta^2\text{-H}_2) \rightleftharpoons \text{L}_n\text{MH}^- + \text{H}^+$ " gleichfalls nach ionischen Mechanismen ablaufen [6]. Dies legt den Gedanken nahe, neben der Metallhydrid-Funktion auch die Protonenquelle in der Koordinationssphäre von Hydridoübergangsmetallkomplexen zu verankern. Vor diesem Hintergrund suchen wir seit kurzem nach geeigneten Syntheseverfahren für entsprechende Carbonylnitrosyl-Verbindungen des Wolframs und berichten nachstehend über eine Reihe verschiedenartiger Derivate der Liganden 2-Diphenylphosphinoanilin, Ph₂PC₆H₄NH₂-2, und 2-Diphenylphosphinobenzoësäure, Ph₂PC₆H₄CO₂H-2, die im Verlauf dieser Arbeiten erhalten wurden.

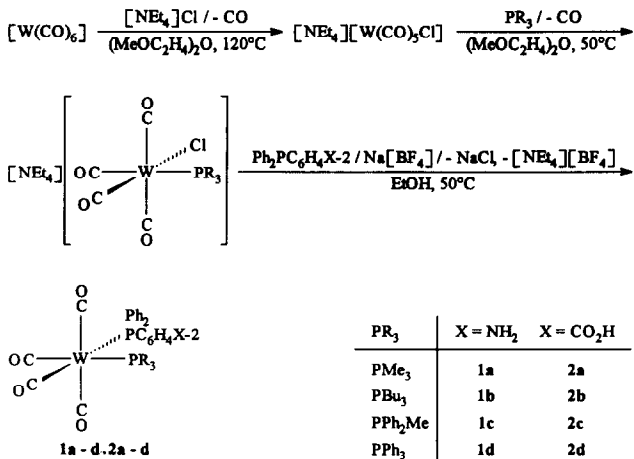
2. Synthesen und Eigenschaften

Die Darstellung gemischt substituierter Tetracarbonylbis(phosphin)-Komplexe $[\text{W}(\text{CO})_4(\text{PR}_3)(\text{Ph}_2\text{PC}_6\text{H}_4\text{X}-2)]$ mit PR₃ = PMe₃, PBu₃, PPh₂Me und PPh₃, **1a–1d** (X = NH₂) und **2a–2d** (X = CO₂H), gelingt ausgehend von $[\text{W}(\text{CO})_6]$ über das Pentacarbonylchlorowolfram-Ion $[\text{W}(\text{CO})_5\text{Cl}]^-$ [11] durch sukzessive Einführung der Phosphinliganden (Schema 1). Hierbei ist es notwendig, zunächst eine der Carbonylgruppen durch das nichtfunktionelle tertiäre Phosphin PR₃ zu substituieren und im Folgeschritt den Chloroliganden

der so erhaltenen komplexen Anionen $[\text{W}(\text{CO})_4(\text{PR}_3)\text{Cl}]^-$ [12] in Gegenwart von Na[BF₄] [13] gegen Ph₂PC₆H₄NH₂-2 bzw. Ph₂PC₆H₄CO₂H-2 auszutauschen. Die Einführung der funktionellen Phosphine Ph₂PC₆H₄X-2 bereits im ersten Schritt führt zu wenig stabilen Wolfram-Anionen, z.B. $[\text{W}(\text{CO})_4(\text{Ph}_2\text{PC}_6\text{H}_4\text{NH}_2\text{-}2)\text{Cl}]^-$ (**3**), welche in Lösung unter Abspaltung von Chlorid alsbald in Chelatkomplexe wie etwa $[\text{W}(\text{CO})_4(\eta^2\text{-Ph}_2\text{PC}_6\text{H}_4\text{NH}_2\text{-}2)]$ (**4**) übergehen. Nebenprodukte der nach Sequenz 1 erhaltenen Verbindungen **1** und **2** sind die monosubstituierten Pentacarbonyl-Derivate $[\text{W}(\text{CO})_5(\text{PR}_3)]$, die sich durch Chromatographie an Kieselgel entfernen lassen.

Als Feststoffe sind die hellgelben Komplexe **1** und **2** längere Zeit an Luft stabil. Sie sind mäßig (**1**) bis gut (**2**) löslich in Solventien wie Methylenechlorid, Chloroform, Methanol, Ethanol und THF. Die Derivate **2** lösen sich außerdem besonders gut in Ether, Aceton und Acetonitril. Unpolare Kohlenwasserstoffe lösen die Verbindungen nicht.

Versuche, die nach (**1**) erhaltenen Tetracarbonyl-Komplexe über die Tricarbonylnitrosyl-Kationen $[\text{W}(\text{CO})_3(\text{NO})(\text{PR}_3)(\text{Ph}_2\text{PC}_6\text{H}_4\text{X}-2)]^+$ in die angestrebten Dicarbonylnitrosylhydride $[\text{WH}(\text{CO})_2(\text{NO})(\text{PR}_3)_-(\text{Ph}_2\text{PC}_6\text{H}_4\text{X}-2)]$ umzuwandeln [14,15], verliefen wenig befriedigend: Die Nitrosylierung von **1** und **2** mit NO[BF₄] oder NO[PF₆] in CH₂Cl₂ führte in der Regel zu grün bis braun gefärbten Oxidations- bzw. Zersetzungsprodukten. Lediglich im Falle von **2c** wurden

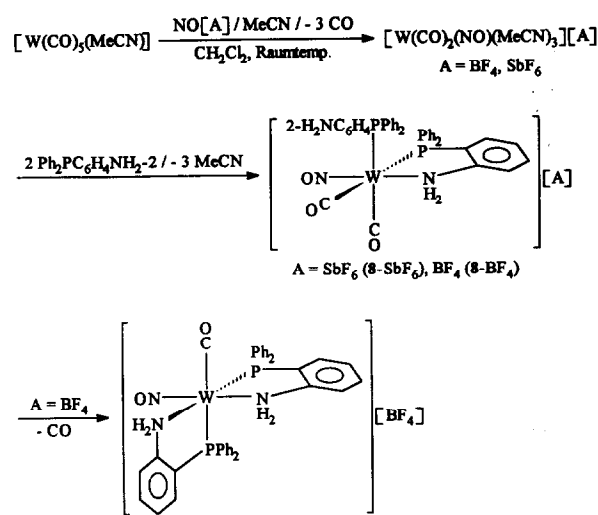


Schema 1.

durch Umsetzung mit $\text{NO}[\text{BF}_4]$ geringe Mengen des erwünschten Komplexes $[\text{W}(\text{CO})_3(\text{NO})(\text{PPh}_2\text{Me})(\text{Ph}_2\text{PC}_6\text{H}_4\text{CO}_2\text{H}-2)][\text{BF}_4]$ (5) erhalten, die sich präparativ allerdings nicht weiterverwerten ließen.

Zur Vermeidung dieser unkontrollierten Reaktionen wurde daher in weiteren Arbeiten der NO-Ligand vor Einführung der NH- bzw. OH-funktionellen Phosphine in die Koordinationssphäre des Wolframs eingefügt. Hierzu wurden die Pentacarbonyl-Verbindungen $[\text{W}(\text{CO})_5(\text{PR}_3)]$ ($\text{PR}_3 = \text{PMe}_3, \text{PPh}_2\text{Me}$) mit $\text{NO}[\text{PF}_6]$ in CH_2Cl_2 bei Raumtemperatur zu den Tricarbonylnitrosyl-Komplexen $[\text{W}(\text{CO})_3(\text{NO})(\text{PR}_3)(\text{PF}_5)]$ umgesetzt, die sich aus den äußerst labilen Tetracarbonylnitrosyl-Salzen $[\text{W}(\text{CO})_4(\text{NO})(\text{PR}_3)][\text{PF}_6]$ durch CO-Verlust spontan in Lösung bilden [16]. Durch in situ Substitution des nur locker gebundenen Hexafluorophosphato-Liganden gegen $\text{Ph}_2\text{PC}_6\text{H}_4\text{NH}_2\text{-}2$ (Schema 2) erhielt man mit Ausbeuten von ca. 30% die Dicarbonyl-Derivate $[\text{W}(\text{CO})_2(\text{NO})(\text{PR}_3)(\eta^2\text{-Ph}_2\text{PC}_6\text{H}_4\text{NH}_2\text{-}2)][\text{PF}_6]$ mit $\text{PR}_3 = \text{PMe}_3$ (7a) und PPh_2Me (7b). Die ^{31}P -NMR-spektroskopische Verfolgung der zu 7b führenden Reaktion zeigt, daß hierbei eine Tricarbonyl-Zwischenstufe mit einzähnig gebundenem $\text{Ph}_2\text{PC}_6\text{H}_4\text{NH}_2\text{-}2$ -Liganden, $[\text{W}(\text{CO})_3(\text{NO})(\text{PPh}_2\text{Me})(\text{Ph}_2\text{PC}_6\text{H}_4\text{NH}_2\text{-}2)]^+$ (6b), durchlaufen wird (vgl. Tab. 2).

Ausgehend von einem kürzlich beschriebenen [17] kationischen Mononitrosyl-Komplex mit labilen Acetonitril-Liganden, $[\text{W}(\text{CO})_2(\text{NO})(\text{MeCN})_3]^+$, ließ sich in Gegenwart von Hexafluoroantimonat als Anion durch Umsetzung mit überschüssigem $\text{Ph}_2\text{PC}_6\text{H}_4\text{NH}_2\text{-}2$ auch ein ausschließlich von 2-Diphenylphosphinoanilin substituiertes Analogon der Verbindungen 7, $[\text{W}(\text{CO})_2(\text{NO})(\eta^1\text{-Ph}_2\text{PC}_6\text{H}_4\text{NH}_2\text{-}2)(\eta^2\text{-Ph}_2\text{PC}_6\text{H}_4\text{NH}_2\text{-}2)][\text{SbF}_6]$ (8-SbF₆), erhalten. Ein entsprechendes Tetrafluoroborat-Salz, $[\text{W}(\text{CO})_2(\text{NO})(\eta^1\text{-Ph}_2\text{PC}_6\text{H}_4\text{NH}_2\text{-}2)(\eta^2\text{-Ph}_2\text{PC}_6\text{H}_4\text{NH}_2\text{-}2)][\text{BF}_4]$ (8-BF₄), entstand aus $[\text{W}(\text{CO})_2(\text{NO})(\text{MeCN})_3][\text{BF}_4]$ und zwei Äquivalenten des Phosphinliganden in CH_2Cl_2 bei Raumtemperatur. Im Gegensatz zu 8-SbF₆ erwies sich 8-BF₄ in



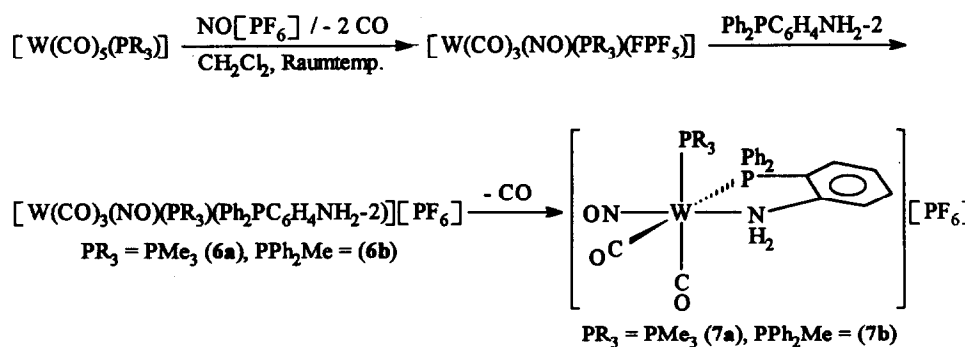
Schema 3.

Lösung als nicht unbegrenzt stabil, sondern ging innerhalb von zwei Tagen vollständig in das Bis(chelat)-Folgeprodukt $[\text{W}(\text{CO})(\text{NO})(\eta^2\text{-Ph}_2\text{PC}_6\text{H}_4\text{NH}_2\text{-}2)_2][\text{BF}_4]$ (9) über (Schema 3).

3. Spektroskopische Charakterisierung

Die IR- und ^{31}P -NMR-Daten der Komplexe 1–9 sind in den Tabellen 1 und 2 zusammengestellt. Ausgewählte ^1H - und ^{13}C -NMR-Daten finden sich im Experimentellen Teil bei den jeweiligen Verbindungen.

Anzahl und relative Intensitäten der für die Verbindungsreihen 1a–1d und 2a–2d beobachteten $\nu(\text{CO})$ -Absorptionen sowie deren ^{31}P -NMR-Parameter lassen erkennen, daß diese Tetracarbonyl-Derivate als *cis*- und *trans*-Isomere auftreten. Ähnlich wie bei anderen disubstituierten Wolframcarbynen *cis/trans*- $[\text{W}(\text{CO})_4(\text{PR}_3)(\text{PR}'_3)]$ [18] weisen die jeweiligen *trans*-Verbindungen beträchtlich größere Kopplungskonstanten $^1\text{J}(\text{WP})$ auf als die zugehörigen *cis*-Komplexe. Die



Schema 2.

indirekten Kopplungskonstanten *cis*- $^2J(\text{PP})$, ca. 20–25 Hz, und *trans*- $^2J(\text{PP})$, ca. 50–60 Hz, bewegen sich an den unteren Enden der dafür diagnostischen Bereiche von 20–50 Hz bzw. 50–200 Hz [18]. Aus den Intensitätsverhältnissen der an Lösungen der Isomerengemische gemessenen AB- ^{31}P -NMR-Spektren können für die verschiedenen Ligandenkombinationen $\text{PR}_3/\text{Ph}_2\text{PC}_6\text{H}_4\text{X}-2$ qualitativ folgende Trends in den *cis/trans*-Verhältnissen abgelesen werden: ausschließlich *cis* (**2a**), *cis* ≫ *trans* (**1a**, **1c**, **1d**), *cis* ≈ *trans* (**2b**–**2d**), *cis* ≪ *trans* (**1b**).

Die Chelatfunktion des 2-Diphenylphosphinoanilin-Liganden in den $\eta^2\text{-Ph}_2\text{PC}_6\text{H}_4\text{NH}_2-2$ Derivaten **4** und **7**–**9** äußert sich ^{31}P -NMR-spektroskopisch in der dafür erwarteten hochfrequenten Verschiebung des in den fünfgliedrigen Ring eingebundenen Phosphor-Kerns. Im Falle des Kations **8**, $[\text{W}(\text{CO})_2(\text{NO})(\eta^1\text{-Ph}_2\text{PC}_6\text{H}_4\text{NH}_2-2)(\eta^2\text{-Ph}_2\text{PC}_6\text{H}_4\text{NH}_2-2)]^+$, beträgt dieser Ringbeitrag zur Koordinationsverschiebung [19] ca. +13 ppm. Die *cis*-PP-Kopplung in **9** fällt mit nur 9.7 Hz bemerkenswert klein aus.

4. Röntgenstrukturanalysen

Folgende Komplexe wurden strukturanalytisch charakterisiert: $[\text{NEt}_4][\text{W}(\text{CO})_4(\text{PPh}_2\text{Me})\text{Cl}]$, $[\text{W}(\text{CO})_4(\text{PPh}_2\text{Me})\text{Cl}]$

TABELLE 1. IR-Daten (cm^{-1}) von **1**–**9**^a

Nr.	$\nu(\text{CO})$	$\nu(\text{NO})$
1a ^{c,f}	2010 s, 1910 s, 1880 vs, 1860 vs, 1835 s	
1b ^{d,f}	2011 s, 1933 s, 1873 vvs, 1849 sh	
1c ^{c,f}	2013 vs, 1913 vs, 1887 vs, 1854 vs	
1d ^{c,f}	2009 s, 1903 sh, 1885 vvs	
2a ^{b,f}	2010 s, 1910 vs, 1890 vs, 1850 vs	
2b ^{e,f}	2000 s, 1930 sh, 1900 sh, 1870 vs	
2c ^{c,f}	2005 s, 1935 sh, 1910 sh, 1870 vs	
2d ^{c,f}	2018 m, 1939 vs, 1879 vvs, 1831 vs	
3 ^b	2004 s, 1875 vvs (br), 1819 vs	
4 ^b	2006 s, 1888 vs, 1871 vs, 1821 vs	
<i>mer,cis</i> - 5 ^f	2022 vs, 1943 vs	1635 vs
<i>cis,cis</i> - 7a ^f	2028 vs, 1956 vs	1653 vs
<i>cis,cis</i> - 7b ^f	2031 vs, 1931 vs	1657 vs
<i>cis,cis</i> - 8-SbF₆ ^f	2033 vs, 1942 vs	1663 vs
<i>cis,cis</i> - 8-BF₄ ^f	2031 vs, 1936 vs	1653 vs
<i>cis,cis</i> - 9 ^f	1923 vs	1605 vs

^a In KBR. ^b *cis*-Isomeren. ^c *cis* / *trans*-Gemisch mit überwiegendem *cis*-Anteil. ^d *cis* / *trans*-Gemisch mit überwiegendem *trans*-Anteil. ^e *cis* / *trans*-Gemisch mit vergleichbaren *cis* und *trans*-Anteilen. ^f Weitere charakteristische Banden (cm^{-1}): **1a**; 3460 m, 3380 m (NH_2). **1b**; 3450 m, 3370 m (NH_2). **1c**; 3480 m, 3400 m (NH_2). **1d**; 3454 m, 3406 m (NH_2). **2a**; 1690 m (CO_2H). **2b**; 1695 m (CO_2H). **2c**; 1685 s (CO_2H). **2d**; 1703 m (CO_2H). **5**; 1088 s, br (BF_4). **7a**; 3278 m, 3248 m (NH_2), 842 vs (PF_6). **7b**; 3262 w, br (NH_2), 838 vs (PF_6). **8-SbF₆**; 3443 m, br (NH_2 frei), 3236 m, br (NH_2 koord.), 666 vs (SbF_6). **8-BF₄**; 3444 m, br (NH_2 frei), 3227 m, br (NH_2 koord.), 1084 vs (BF_4). **9**; 3229 m, br (NH_2), 1087 vs (BF_4).

TABELLE 2. ^{31}P -{ ^1H }-NMR-Daten von **1**–**9**^a

Nr.	$\delta(\text{P}_A)$	$\delta(\text{P}_B)$	$^2J(\text{P}_A\text{P}_B)$
cis-1a	16.8 (233.2)	−38.4 (222.6)	24.8
trans-1a	21.5 (285.2)	−32.2 (261.1)	47.4
cis-1b	14.6 (229.7)	−10.3 (225.2)	23.0
trans-1b	20.6 (282.7)	−2.7 (265.4)	49.6
cis-1c	16.7 (229.5)	−3.7 (230.1)	24.2
trans-1c	20.9 (282.7)	2.5 (275.1)	53.6
cis-1d	21.5 (228.3)	15.5 (229.4)	25.0
trans-1d	26.6 (284.1)	19.7 (278.2)	55.4
cis-2a	27.7 (237.0)	−40.5 (226.4)	25.4
cis-2b	25.8 (231.6)	−12.1 (222.8)	24.3
trans-2b	34.4 (289.5)	−2.8 (263.3)	54.4
cis-2c	27.9 (237.0)	−4.9 (232.7)	23.1
trans-2c	34.1 (300.8)	1.9 (278.1)	59.2
cis-2d	29.0 (233.2)	21.2 (232.4)	27.3
trans-d	33.1 (287.1)	27.2 (nicht aufgelöst)	61.1
3	35.7 (242.0)		
4	38.3 (242.1)		
cis-5	12.5 (249.5)	1.9 (265.9)	22.3
cis-6a	3.6 (176.0)	−32.8 (247.9)	25.1
cis-6b	19.0 (177.4)	−0.8 (254.4)	24.0
cis-7a	30.1 (263.5)	−31.5 (257.0)	21.2
cis-7b	27.3 (266.0)	−1.4 (256.7)	22.1
cis-8-SbF₆	28.3 (260.8)	15.8 (260.7)	22.4
cis-8-BF₄	28.3 (259.0)	15.7 (257.4)	22.4
cis-9	43.2 (374.5)	38.9 (247.7)	9.7

^a In CDCl_3 , (**1a**, **3**, **5**–**9**), Aceton- d_6 (**1b**, **2a**–**2c**), C_6D_6 (**1d**, **2d**), THF- d_8 (**1c**) bzw. Ethanol- d_6 (**4**); $\text{P}_A = \eta^1\text{-Ph}_2\text{PC}_6\text{H}_4\text{NH}_2-2$ (**1a**–**1d**, **3**, **6a**, **6b**), $\eta^2\text{-Ph}_2\text{PC}_6\text{H}_4\text{NH}_2-2$ (**4**, **7a**–**9**) bzw. $\eta^1\text{-Ph}_2\text{PC}_6\text{H}_4\text{CO}_2\text{H}$ (**2a**–**c**, **5**); $\text{P}_B = \text{PMe}_3$ (**1a**, **2a**, **6a**, **7a**), PBu_3 (**1b**, **2b**), PPh_2Me (**1c**, **2c**, **5**, **6b**, **7b**), PPh_3 (**1d**, **2d**), $\eta^1\text{-Ph}_2\text{PC}_6\text{H}_4\text{NH}_2-2$ (**8**) bzw. $\eta^2\text{-Ph}_2\text{PC}_6\text{H}_4\text{NH}_2-2$ (**9**); Kopplungskonstanten in Hz ($^1J(^{183}\text{WP})$ in Klammern hinter den jeweiligen chemischen Verschiebungen); PF_6 -Signal von **6a** bis **7b** bei $\delta = -144$ ($^1J(\text{PF}) \approx 710$ Hz).

($\text{PPh}_2\text{Me})(\text{Ph}_2\text{PC}_6\text{H}_4\text{NH}_2-2)$] (**1c**), $[\text{W}(\text{CO})_4(\eta^2\text{-Ph}_2\text{PC}_6\text{H}_4\text{NH}_2-2)]$ (**4**), $[\text{W}(\text{CO})_2(\text{NO})(\text{PMe}_3)(\eta^2\text{-Ph}_2\text{PC}_6\text{H}_4\text{NH}_2-2)]\text{[PF}_6\text{]}-7\text{a}$), $[\text{W}(\text{CO})_2(\text{NO})(\eta^1\text{-Ph}_2\text{PC}_6\text{H}_4\text{NH}_2-2)(\eta^2\text{-Ph}_2\text{PC}_6\text{H}_4\text{NH}_2-2)]\text{[SbF}_6\text{]}$ (**8-SbF₆**) und $[\text{W}(\text{CO})(\text{NO})(\eta^2\text{-Ph}_2\text{PC}_6\text{H}_4\text{NH}_2-2)]\text{[BF}_4\text{]}$ (**9**).

Das Strukturmodell des Chlorowolframat-Anions $[\text{W}(\text{CO})_4(\text{PPh}_2\text{Me})\text{Cl}]^-$ ist in Abb. 1 dargestellt. Der Komplex weist eine verzerrt *cis*-oktaedrische Koordinationsgeometrie mit praktisch identischen W–CO-Abständen auf.

Abb. 2 zeigt das Molekül des gleichfalls *cis*-oktaedrischen Komplexes $[\text{W}(\text{CO})_4(\text{PPh}_2\text{Me})(\text{Ph}_2\text{PC}_6\text{H}_4\text{NH}_2-2)]$ (**1c**). Der Abstand zwischen dem zentralen Wolframatom und dem Diphenylmethylphosphin-Liganden, 2.530(3) Å, ist nahezu identisch mit dem für $[\text{W}(\text{CO})_4(\text{PPh}_2\text{Me})\text{Cl}]^-$ gemessenen Wert von 2.537(5) Å. Demgegenüber ist die W–P-Bindung zwischen dem Zentralatrom und dem schwächeren σ -Donator $\text{Ph}_2\text{PC}_6\text{H}_4\text{NH}_2-2$ mit einer Länge von 2.573(3) Å deutlich aufgeweitet. Der NH_2 -Substituent ist zur Peripherie des Moleküls hin orientiert, so daß keinerlei

Wechselwirkungen mit dem Zentralmetall oder den Sauerstoffatomen der Carbonylgruppen existieren.

Der Chelatkomplex $[W(CO)_4(\eta^2\text{-Ph}_2\text{PC}_6\text{H}_4\text{NH}_2\text{-}2)]$ (4) kristallisierte aus CH_2Cl_2 -Lösungen von $[W(CO)_4(\text{Ph}_2\text{PC}_6\text{H}_4\text{NH}_2\text{-}2)\text{Cl}^-]$ als Molekülverbindung mit einem Mol Tetraethylammoniumchlorid, “[$[W(CO)_4(\eta^2\text{-Ph}_2\text{PC}_6\text{H}_4\text{NH}_2\text{-}2)] \cdot [\text{NEt}_4]^+$ Cl⁻”]. Die Strukturanalyse ergab, daß je zwei Chlorid-Ionen zwei Komplexeinheiten über N–H ··· Cl-Wasserstoffbrücken zu zentrosymmetrischen zweikernigen dianionischen Einheiten des Typs $\{[W(CO)_4(\eta^2\text{-Ph}_2\text{PC}_6\text{H}_4\text{NH}_2\text{-}2)]_2\text{Cl}_2\}^{2-}$ verknüpfen (Abb. 3). Durch die Bildung des fünfgliedrigen Ringsystems wird die Bindung zwischen dem Metallatom und dem $\text{Ph}_2\text{PC}_6\text{H}_4\text{NH}_2\text{-}2$ -Liganden im Vergleich zu 1c erwartungsgemäß verkürzt: 2.490(3) Å vs. 2.573(3) Å.

Abbildungen 4 und 5 stellen die Strukturmodelle der Kationen der miteinander eng verwandten Komplexe $[W(CO)_2(\text{NO})(\text{PMe}_3)(\eta^2\text{-Ph}_2\text{PC}_6\text{H}_4\text{NH}_2\text{-}2)]\text{-}[\text{PF}_6^-]$ (7a) und $[W(CO)_2(\text{NO})(\eta^1\text{-Ph}_2\text{PC}_6\text{H}_4\text{NH}_2\text{-}2)\text{-}(\eta^2\text{-Ph}_2\text{PC}_6\text{H}_4\text{NH}_2\text{-}2)]\text{SbF}_6^-$ (8-SbF₆) dar. Die letztgenannte Verbindung kristallisierte aus CH_2Cl_2 /Ether-Mischungen mit jeweils 0.5 Mol der Lösemittel-

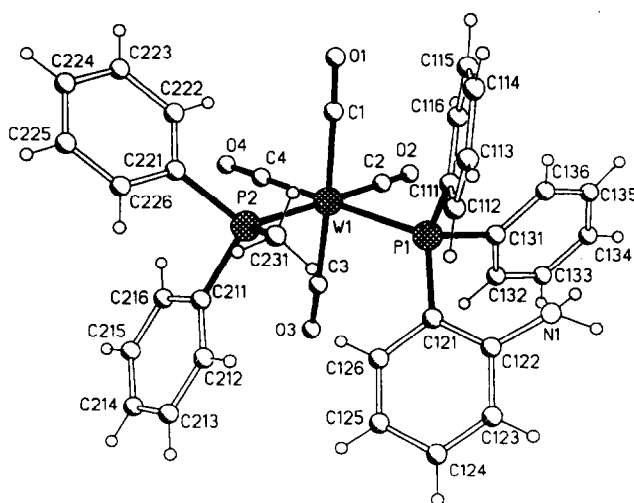


Abb. 2. Molekülmodell von $[W(CO)_4(\text{PPh}_2\text{Me})(\text{Ph}_2\text{PC}_6\text{H}_4\text{NH}_2\text{-}2)]$ (1c). Ausgewählte Bindungslängen (Å) und -winkel (°): W(1)–P(2), 2.530(3); W(1)–C(1), 2.021(12); W(1)–C(2), 1.992(13); W(1)–C(3), 2.012(11); W(1)–C(4), 1.987(12); C(1)–O(1), 1.147(13); C(2)–O(2), 1.141(13); C(3)–O(3), 1.151(12); C(4)–O(4), 1.144(12); P(1)–W(1)–P(2), 94.99(9); P(1)–W(1)–C(1), 93.2(3); P(1)–W(1)–C(2), 88.8(3); P(1)–W(1)–C(3), 91.2(3); P(1)–W(1)–C(4), 174.3(3); P(2)–W(1)–C(1), 90.7(3); P(2)–W(1)–C(2), 176.1(4); P(2)–W(1)–C(3), 90.4(3); P(2)–W(1)–C(4), 174.3(3); C(1)–W(1)–C(2), 90.0(5); C(1)–W(1)–C(3), 175.3(4); C(1)–W(1)–C(4), 88.5(4); C(2)–W(1)–C(3), 88.5(5); C(2)–W(1)–C(4), 85.8(5); C(3)–W(1)–C(4), 87.0(4); W(1)–C(1)–O(1), 178.5(10); W(1)–C(2)–O(2), 177.8(11); W(1)–C(3)–O(3), 174.4(11); W(1)–C(4)–O(4), 176.7(10).

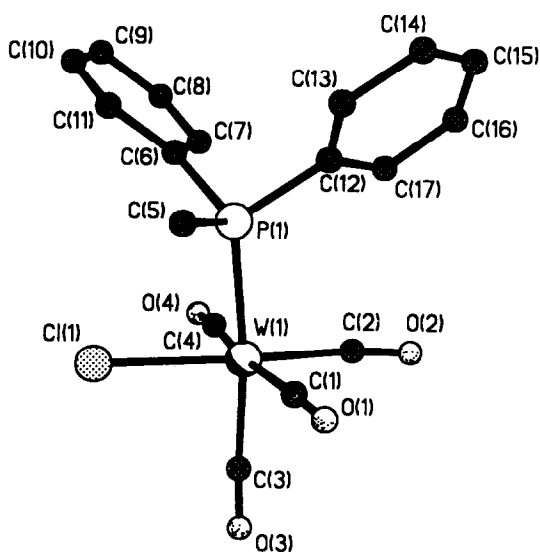


Abb. 1. Perspektivische Darstellung von $[W(CO)_4(\text{PPh}_2\text{Me})\text{Cl}]^-$ ohne Berücksichtigung der H-Atome. Ausgewählte Bindungslängen (Å) und -winkel (°): W(1)–P(1), 2.537(5); W(1)–Cl(1), 2.584(6); W(1)–C(1), 2.006(16); W(1)–C(2), 2.006(14); W(1)–C(3), 2.006(16); W(1)–C(4), 2.007(16); C(1)–O(1), 1.10(2); C(2)–O(2), 1.10(2); C(3)–O(3), 1.10(2); C(4)–O(4), 1.11(2); P(1)–W(1)–Cl(1), 81.1(2); P(1)–W(1)–C(1), 84.8(6); P(1)–W(1)–C(2), 98.8(4); P(1)–W(1)–C(3), 170.1(6); P(1)–W(1)–C(4), 94.9(7); Cl(1)–W(1)–C(1), 97.9(6); Cl(1)–W(1)–C(2), 174.4(8); Cl(1)–W(1)–C(3), 90.9(6); Cl(1)–W(1)–C(4), 91.1(11); C(1)–W(1)–C(2), 87.9(10); C(1)–W(1)–C(3), 90.5(8); C(1)–W(1)–C(4), 171.0(15); C(2)–W(1)–C(3), 89.8(7); C(2)–W(1)–C(4), 83.3(14); C(3)–W(1)–C(4), 91.1(10); W(1)–C(1)–O(1), 175.2(19); W(1)–C(2)–O(2), 174.0(20); W(1)–C(3)–O(3), 176.3(18); W(1)–C(4)–O(4), 174.7(4).

komponenten. Die kristallchemischen Umgebungen der in Abb. 5 gezeigten symmetrieunabhängigen Kationen von 8-SbF₆ unterscheiden sich dadurch, daß das Kation 2 über die in den Chelatring eingebundene Amino-Funktion um N(4) mit dem (in der Abbildung nicht wiedergegebenen) Et₂O-Molekül über eine Wasserstoffbrücke verbunden ist (Abstand O ··· N, 2.846 Å). Während im Kation von 7a die W–P-Bindung innerhalb des Chelatringes mit 2.498(3) Å praktisch ebenso lang ist wie im Molekül 4 (s.o.), ist der entsprechende Abstand in 8 mit Werten von 2.525(2) Å für das Kation 1 bzw. 2.555(2) Å für das Kation 2 beträchtlich gedehnt. Demgegenüber sind die Längen der Bindungen zwischen dem Wolframatom und dem einzähnig koordinierten $\text{Ph}_2\text{PC}_6\text{H}_4\text{NH}_2\text{-}2$ -Liganden in 1c (2.573(3) Å) und 8 (2.574(2) sowie 2.591(2) Å) kaum verschieden. Die Längen der W–N-Bindungen innerhalb der Chelattringsysteme von 4, 7a und 8 variieren zwischen 2.255(5) bzw. 2.265(5) (8), 2.294(9) (7a) und 2.305(10) (4) Å, ohne daß dabei ein eindeutig zu interpretierender Trend zu erkennen ist.

Anders als in der Neutralverbindung 1c (Abb. 2) ist die Aminogruppe des einzähnig gebundenen $\text{Ph}_2\text{PC}_6\text{H}_4\text{NH}_2\text{-}2$ -Liganden im Kationkomplex 8 zum Zentralatom hin ausgerichtet (Abb. 5) – ein struktur-

chemisches Merkmal, welches der Beobachtung Rechnung trägt, daß Kationen wie **8** unter Verdrängung einer Carbonylgruppe durch ebendiese NH₂-Funktion leicht in Bis(chelat)-Folgeprodukte übergehen (vgl. Schema 3). Ein solches ließ sich in Form von [W(CO)₄(NO)(η²-Ph₂PC₆H₄NH₂-2)₂][BF₄] (**9**) als kristallisiertes Monohydrat ebenfalls strukturell sichern. Die asymmetrische Einheit der zentrosymmetrischen triklinen Elementarzelle enthält zwei unabhängige Komplexe, deren chirale Kationen in Abb. 6 wiedergegeben sind. Diese sind über ihre [BF₄]⁻-Gegenionen zu zweikernigen Aggregaten aus Bausteinen gleicher Händigkeit verknüpft, wie in Abb. 7 dargestellt ist. Die Längen der W-P- und W-NH₂-Bindungen in Struktur **9** zeigen die erwartete ausgeprägte Abhängigkeit von der Natur des jeweiligen *trans*-Liganden: So sind die Wolfram–Phosphor-Bindungen in *trans*-Stellung zur koordinierten Aminogruppe mit 2.419(7) bzw. 2.417(6) Å sehr viel kürzer als mit CO als *trans*-Einfluß-Ligand (2.528(5) bzw. 2.532(6) Å). Ganz entsprechend dehnt der *trans*-ständige Nitrosylligand die Länge der W-NH₂-Bindung im Kation 1 von Struktur **9** auf 2.336(14), im Kation 2 auf 2.341(14) Å. In *trans*-Stellung zu den W-P-Bindungen der beiden Kationen messen die je-

weiligen W-NH₂-Abstände dagegen nur 2.230(21) bzw. 2.262(16) Å. Eine ähnliche *trans*-bedingte Abhängigkeit von W-NH₂R-Abständen wird in Phenylimido-Komplexen angetroffen, in denen die W-N-Bindungslängen je nach Art des *trans*-Liganden um ca. 0.2 Å differieren [20].

5. Schlußfolgerung

Zwar sind gemischt substituierte Tetracarbonylwolfram-Komplexe wie **1** und **2** mit NH- und OH-funktionellen Phosphinen auf dem Wege (1) leicht zugänglich, doch läßt sich an diesen eine weiterführende Derivatisierung, z.B. durch Einführung von NO, nicht oder nur unter hohen Substanzverlusten bewerkstelligen. Zur Darstellung von Carbonyl(nitrosyl)wolfram-Verbindungen des 2-Diphenylphosphinoanilins empfiehlt sich daher die Verwendung vorgefertigter NO-Komplexe mit substitutionslabilen Liganden wie FPF₅⁻ oder MeCN. In allen auf diesem Wege – vgl. (2) und (3) – erhaltenen Produkten zeigt der Ph₂PC₆H₄NH₂-2-Ligand eine bemerkenswerte Tendenz, koordiniertes CO unter Ausbildung von W-N-Bindungen und Chelatstrukturen zu verdrängen.

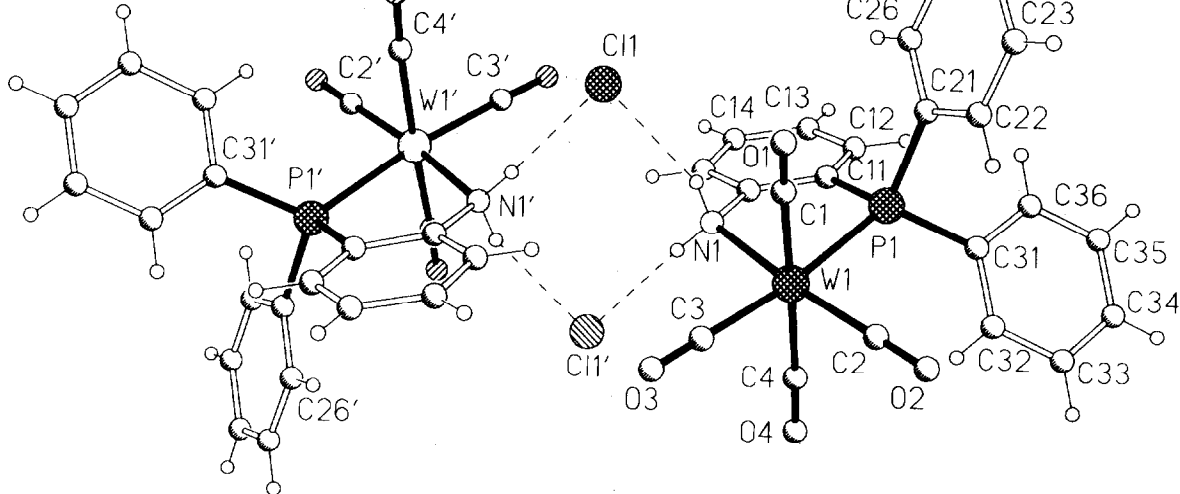


Abb. 3. Darstellung der zweikernigen anionischen Einheit von $[NEt_4]_2\{[W(CO)_4(\eta^2\text{-Ph}_2\text{PC}_6\text{H}_4\text{NH}_2\text{-2})_2]\text{Cl}_2\}$ (" $[W(CO)_4(\eta^2\text{-Ph}_2\text{PC}_6\text{H}_4\text{NH}_2\text{-2})\cdot\text{NEt}_4\text{Cl}^-]$ "). Ausgewählte Bindungslängen (Å) und -winkel (°): W(1)–P(1), 2.490(3); W(1)–N(1), 2.305(10); W(1)–C(1), 2.030(12); W(1)–C(2), 1.992(14); W(1)–C(3), 1.975(14); W(1)–C(4), 2.071(13); C(1)–O(1), 1.138(13); C(2)–O(2), 1.14(2); C(3)–O(3), 1.157(14); C(4)–O(4), 1.114(13); P(1)–W(1)–N(1), 76.7(2); P(1)–W(1)–C(1), 90.9(3); P(1)–W(1)–C(2), 96.5(4); P(1)–W(1)–C(3), 172.9(4); P(1)–W(1)–C(4), 86.5(4); N(1)–W(1)–C(1), 95.5(4); N(1)–W(1)–C(2), 172.9(4); N(1)–W(1)–C(3), 97.2(4); N(1)–W(1)–C(4), 86.5(4); C(1)–W(1)–C(2), 86.2(5); C(1)–W(1)–C(3), 86.1(5); C(1)–W(1)–C(4), 176.2(5); C(2)–W(1)–C(3), 89.8(5); C(2)–W(1)–C(4), 92.2(5); C(3)–W(1)–C(4), 90.5(5); W(1)–C(1)–O(1), 173.2(12); W(1)–C(2)–O(2), 179.3(13); W(1)–C(3)–O(3), 172.7(12); W(1)–C(4)–O(4), 173.6(11). Abstände NH ··· Cl(1): 2.38(8) und 2.42(7) Å; Winkel H–Cl(1)–H: 83(3)°.

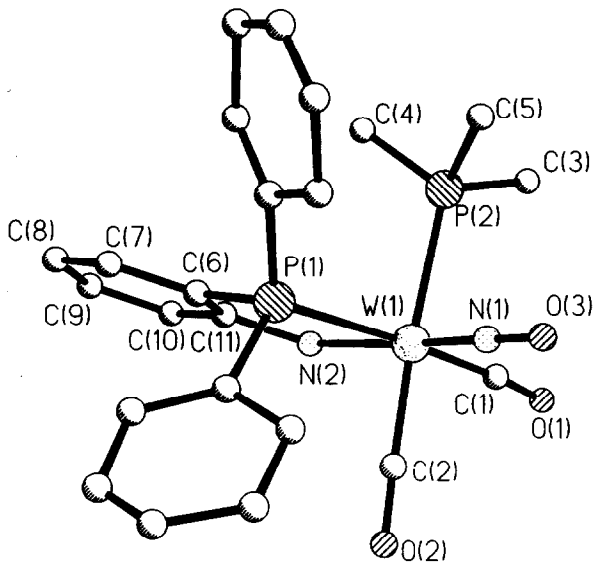


Abb. 4. Struktur des Kations von $[W(CO)_2(NO)(PMe_3)(\eta^2-Ph_2PC_6H_4NH_2-2)]^+$ (7a). Ausgewählte Bindungsabstände (\AA) und -winkel ($^\circ$): W(1)-P(1), 2.498(3); W(1)-P(2), 2.557(3); W(1)-N(1), 1.795(12); W(1)-(N2), 2.294(9); W(1)-C(1), 2.032(17); W(1)-C(2), 1.992(13); N(1)-(N2), 1.217(17); C(1)-O(1), 1.136(21); C(2)-O(2), 1.131(18); P(1)-W(1)-P(2), 92.5(1); P(1)-W(1)-N(1), 96.1(4); P(1)-W(1)-N(2), 77.4(3); P(1)-W(1)-C(1), 168.8(4); P(1)-W(1)-C(2), 90.4(4); P(2)-W(1)-N(1), 89.7(4); P(2)-W(1)-N(2), 89.7(2); P(2)-W(1)-C(1), 89.1(4); P(2)-W(1)-C(2), 177.0(4); N(1)-W(1)-N(2), 173.4(5); N(1)-W(1)-C(1), 95.0(6); N(1)-W(1)-C(2), 89.0(5); N(2)-W(1)-C(1), 91.5(5); N(2)-W(1)-C(2), 89.0(5); C(1)-W(1)-C(2), 88.3(6); W(1)-N(1)-O(3), 177.0(11); W(1)-C(1)-O(1), 176.8(14); W(1)-C(2)-O(2), 171.6(11).

6. Experimentelles

6.1. Arbeitstechnik und apparatusives Instrumentarium

Alle Reaktionen wurden unter Stickstoffatmosphäre in getrockneten, N_2 -gesättigten Lösemitteln durchgeführt. IR-Spektren: Perkin Elmer 580B, Perkin Elmer 983, Mattson Polaris™ und Bio-Rad FTS-45. NMR-Spektren: Jeol FT-JNM-GX 270 und Jeol FT-JNM-EX 270 (270 MHz bei ^1H , 67.7 MHz bei ^{13}C , 109.4 MHz bei ^{31}P), Varian Gemini 200 (200 MHz bei ^1H , 50.3 MHz bei ^{13}C) sowie Varian Gemini 300 (121.5 MHz bei ^{31}P); ^1H - und ^{13}C -Verschiebungen relativ zu einem internen TMS-Standard; Referenzierung der ^{31}P -Spektren gegen H_3PO_4 ext.; Verschiebungen zu tiefem Feld mit positivem Vorzeichen. Röntgenstrukturanalysen auf Vierkreisdiffraktometern der Fabrikate Philips PW 1100, Siemens R3m/V sowie Nicolet R3.

6.2. Ausgangsverbindungen

Die Synthesen von $\text{Ph}_2\text{PC}_6\text{H}_4\text{NH}_2-2$ und $\text{Ph}_2\text{P-C}_6\text{H}_4\text{CO}_2\text{H}-2$ erfolgten wie in [21,22] angegeben. Zur Darstellung der Wolframat-Komplexe *cis*-[NEt₄] $[W(CO)_4(PR_3)\text{Cl}]$ mit $\text{PR}_3 = \text{PBu}_3$, PPh_2Me und PPh_3

wurde analog [11] und [12] verfahren. Die in der Literatur noch nicht beschriebene Verbindung *cis*-[NEt₄] $[W(CO)_4(PMe_3)\text{Cl}]$ wurde entsprechend erhalten: 4.08 g (11.6 mmol) $[W(CO)_6]$ und 1.93 g (11.6 mmol) [NEt₄]Cl wurden in 50 ml Diethyleneglykoldimethyl-ether suspendiert und 2.5 h auf 120°C erhitzt. Nach Filtration der noch heißen Lösung und Zugabe von 1.44 ml (13.9 mmol) PMe₃ wurde noch 30 min im Vakuum auf 50°C erwärmt. Das gelbe Produkt wurde durch langsames Zutropfen von 50 ml Ether und 100 ml n-Pentan bei 0°C gefällt, mit 2×10 ml Ether gewaschen, ggf. aus THF/n-Pentan umkristallisiert und im Vakuum getrocknet. Ausb.: 5.04 g (81%). Gef.: C, 33.41; H, 5.22; N, 2.59. $C_{15}\text{H}_{29}\text{ClNO}_4\text{PW}$ (537.67) ber.: C, 33.51; H, 5.44; N, 2.61%. IR (KBr): 1780, 1840, 1860, 1990 cm^{-1} ($\text{C}\equiv\text{O}$). $^1\text{H-NMR}$ (THF- d_8): $\delta = 1.33$ (tt, $^3J(\text{HH}) = 7.7$, $^3J(\text{NH}) = 1.1$ Hz, NCH_2CH_3); 1.48 (d, $^2J(\text{PH}) = 7.7$ Hz, PCH_3); 3.42 (qu, NCH_2CH_3). $^{13}\text{C}[^1\text{H}]\text{-NMR}$ (THF- d_8): $\delta = 8.0$ (s, NCH_2CH_3); 18.2 (d, $^1J(\text{CP}) = 25.4$ Hz, PCH_3); 53.2 (s, NCH_2CH_3); 206.5 (d, *cis*- $^2J(\text{PC}) = 8.5$, $^1J(\text{WC}) = 126.9$ Hz, 2 CO); 209.8 (d, *cis*- $^2J(\text{PC}) = 4.3$, $^1J(\text{WC}) = 169.3$ Hz, 1 CO); 214.5 (d, *trans*- $^2J(\text{PC}) = 36.0$, $^1J(\text{WC}) = 160.8$ Hz, 1 CO). $^{31}\text{P}[^1\text{H}]\text{-NMR}$ (THF- d_8): $\delta = -28.0$ (s, $^1J(\text{WP}) = 218.7$ Hz).

6.3. Komplex-Synthesen

6.3.1. $[W(CO)_4(PMe_3)(\text{Ph}_2\text{PC}_6\text{H}_4\text{NH}_2-2)]$ (1a)

1.78 g (3.3 mmol) [NEt₄] $[W(CO)_4(PMe_3)\text{Cl}]$, 1.19 g (4.3 mmol) $\text{Ph}_2\text{PC}_6\text{H}_4\text{NH}_2-2$ und 0.57 g (5.2 mmol) Na[Bf₄] wurden als Suspension in 20 ml Ethanol 1.5 h bei 50°C gerührt. Der nach Abziehen des Lösemittels verbleibende Rückstand wurde in wenig Ether aufgenommen und über Filterflocken filtriert. Nach Extraktion mit 3×5 ml THF ließen sich durch Eindampfen im Vakuum 0.32 g (15%) 1a als *cis/trans*-Isomerengemisch mit weit überwiegendem *cis*-Anteil isolieren. Gef.: C, 45.75; H, 3.58; N, 1.69. $C_{25}\text{H}_{25}\text{NO}_4\text{P}_2\text{W}$ (649.28) ber.: C, 46.25; H, 3.88; N, 2.16%. $^1\text{H-NMR}$ (Dioxan- d_8): $\delta = 0.95$ (d, $^2J(\text{PH}) = 6.8$ Hz, PCH_3 , *trans*-Isomer); 1.51 (d, $^2J(\text{PH}) = 7.2$ Hz, PCH_3 , *cis*-Isomer); 4.49 (br, NH_2). $^{13}\text{C}[^1\text{H}]\text{-NMR}$ (Dioxan- d_8): $\delta = 20.6$ (d, $^1J(\text{PC}) = 27.1$ Hz, PCH_3 , *cis*-Isomer); 22.4 (d, $^1J(\text{PC}) = 29.0$ Hz, PCH_3 , *trans*-Isomer); Carbonyl-C-Atome des *cis*-Isomers bei $\delta = 204.1$ (“t”, *cis*- $^2J(\text{PC}) = 7.7$ Hz, 2 CO); 205.9 (dd, *cis*- $^2J(\text{PC}) = 6.5$, *trans*- $^2J(\text{PC}) = 23.7$ Hz, 1 CO); 206.6 (dd, *cis*- $^2J(\text{PC}) = 5.9$, *trans*- $^2J(\text{PC}) = 21.4$ Hz, 1 CO); Carbonyl-C-Atome des *trans*-Isomers bei $\delta = 204.2$ (“t”, *cis*- $^2J(\text{PC}) = 6.0$ Hz).

6.3.2. $[W(CO)_4(PBu_3)(\text{Ph}_2\text{PC}_6\text{H}_4\text{NH}_2-2)]$ (1b)

Die Darstellung erfolgte analog zu 1a aus 1.68 g (2.5 mmol) [NEt₄] $[W(CO)_4(PBu_3)\text{Cl}]$, 0.92 g (3.3 mmol)

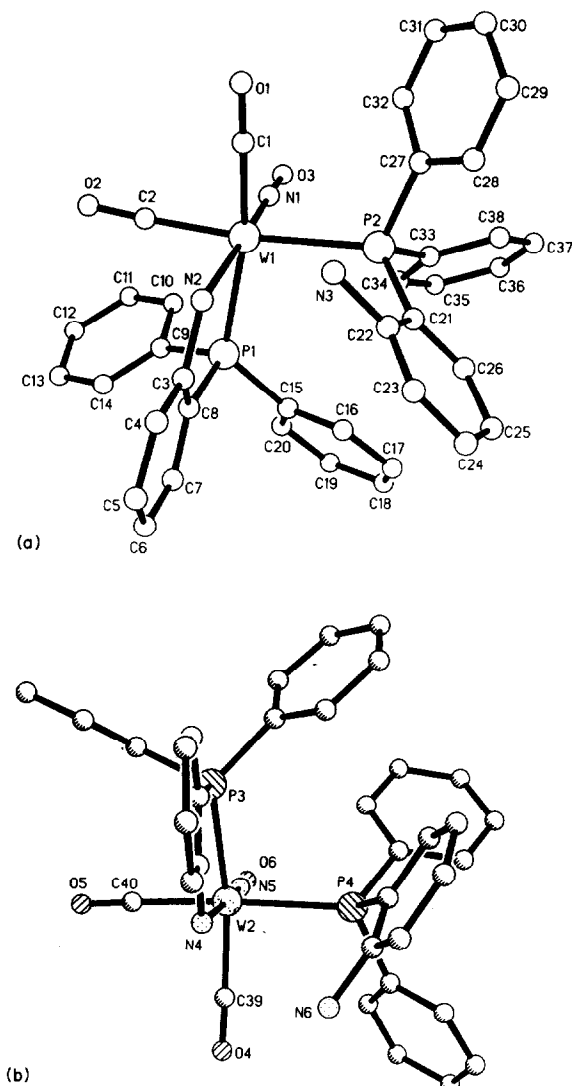


Abb. 5. Strukturen der beiden symmetrieeinabhängigen Kationen in der asymmetrischen Einheit von $[W(CO)_2(NO)(\eta^1-Ph_2PC_6H_4NH_2-2)(\eta^2-Ph_2PC_6H_4NH_2-2)][SbF_6]$ (8-SbF₆). Ausgewählte Bindungsabstände (Å) und -winkel (°): Kation 1; W(1)–P(1), 2.525(2); W(1)–P(2), 2.591(2); W(1)–N(1), 1.790(6); W(1)–N(2), 2.265(5); W(1)–C(1), 2.009(8); W(1)–C(2), 2.021(6); N(1)–O(3), 1.203(8); C(1)–O(1), 1.152(10); C(2)–O(2), 1.150(8); P(1)–W(1)–P(2), 100.3(1); P(1)–W(1)–N(1), 97.3(2); P(1)–W(1)–N(2), 77.7(2); P(1)–W(1)–C(1), 167.3(2); P(1)–W(1)–C(2), 85.1(2); P(2)–W(1)–N(1), 89.5(2); P(2)–W(1)–N(2), 94.6(1); P(2)–W(1)–C(1), 87.3(2); P(2)–W(1)–C(2), 174.6(2); N(1)–W(1)–N(2), 174.1(2); N(1)–W(1)–C(1), 92.9(3); N(1)–W(1)–C(2), 89.9(3); N(2)–W(1)–C(1), 91.6(3); N(2)–W(1)–C(2), 86.5(2); C(1)–W(1)–C(2), 87.4(3); W(1)–N(1)–O(3), 175.4(5); W(1)–C(1)–O(1), 175.5(6); W(1)–C(2)–O(2), 175.2(7). Kation 2; W(2)–P(3), 2.555(2); W(2)–P(4), 2.574(2); W(2)–N(4), 2.255(5); W(2)–N(5), 1.798(5); W(2)–C(39), 1.998(6); W(2)–C(40), 2.034(7); N(5)–O(6), 1.206(7); C(39)–O(4), 1.156(8); C(40)–O(5), 1.136(8); P(3)–W(2)–P(4), 95.9(1); P(3)–W(2)–N(4), 76.6(1); P(3)–W(2)–N(5), 103.9(2); P(3)–W(2)–C(39), 164.8(2); P(3)–W(2)–C(40), 87.8(2); P(4)–W(2)–N(4), 92.3(1); P(4)–W(2)–N(5), 91.2(2); P(4)–W(2)–C(39), 90.3(2); P(4)–W(2)–C(40), 176.1(1); N(4)–W(2)–N(5), 176.3(2); N(4)–W(2)–C(39), 89.3(2); N(4)–W(2)–C(40), 89.8(2); N(5)–W(2)–C(39), 89.8(2); N(5)–W(2)–C(40), 86.6(2); C(39)–W(2)–C(40), 86.4(3); W(2)–N(5)–O(6), 177.1(5); W(2)–C(39)–O(4), 177.1(6); W(2)–C(40)–O(5), 170.5(5).

Ph₂PC₆H₄NH₂-2 und 0.43 g (3.9 mmol) Na[BF₄] in 20 ml Ethanol. Zur Reinigung des Rohproduktes wurde dieses in THF an neutralem Kieselgel (Aktivitätsstufe I) chromatographiert. Ausb.: 1.31 g (68%) *cis/trans*-Isomerengemisch mit stark überwiegenderem *trans*-Anteil. Gef.: C, 52.94; H, 5.83; N, 1.54. C₃₄H₄₃NO₄P₂W (775.52) ber.: C, 52.66; H, 5.59; N, 1.81%. ¹H-NMR (CDCl₃): δ = 0.94 (t, ³J(HH) = 6.9 Hz, 3 Butyl-CH₃), 1.46 (m, 6 Butyl-CH₂), 1.90 (m, 3 Butyl-CH₂), 3.85 (br, NH₂). ¹³C{¹H}-NMR (CDCl₃): Butyl-C-Atome der Isomeren bei δ = 13.8 (s), 24.20 (d, J(PC) = 12.5 Hz), 24.25 (d, J(PC) = 11.7 Hz), 25.9 (s), 28.2 (d, J(PC) = 22.1 Hz) und 30.4 (d, J(PC) = 26.0 Hz); Carbonyl-C-Atome des *trans*-Isomers bei δ = 204.4 (“t”, *cis*-²J(PC) = 6.4 Hz).

6.3.3. [W(CO)₄(PPh₂Me)(Ph₂PC₆H₄NH₂-2)] (1c)

Darstellung und Reinigung gemäß **1b** ausgehend von 1.86 g (2.8 mmol) [NEt₄][W(CO)₄(PPh₂Me)Cl], 1.03 g (3.7 mmol) Ph₂PC₆H₄NH₂-2 und 0.48 g (4.4 mmol) Na[BF₄] in 25 ml Ethanol: 1.62 g (75%) *cis/trans*-Isomerengemisch mit stark überwiegenderem *cis*-Anteil. Gef.: C, 54.82; H, 3.88; N, 1.54. C₃₅H₂₉NO₄P₂W (773.42) ber.: C, 54.35; H, 3.78; N, 1.81%. ¹H-NMR (CDCl₃): δ = 1.65 (d, ²J(PH) = 6.4 Hz, PC₆H₃, *cis*-Isomer); 2.27 (d, ²J(PH) = 7.0 Hz, PC₆H₃, *trans*-Isomer); 3.71 (br, NH₂). ¹³C{¹H}-NMR (CDCl₃): δ = 19.1 (d, ¹J(PC) = 25.4 Hz, PC₆H₃, *cis*-Isomer); 22.3 (d, ¹J(PC) = 27.4 Hz, PC₆H₃, *trans*-Isomer); Carbonyl-C-Atome des *cis*-Isomers bei δ = 203.8 (“t”, *cis*-²J(PC) = 7.3 Hz, 2 CO), 205.8 (dd, *cis*-²J(PC) = 6.3, *trans*-²J(PC) = 24.8 Hz, 1 CO) und 206.1 (dd, *cis*-²J(PC) = 4.7, *trans*-²J(PC) = 23.7 Hz, 1 CO); Carbonyl-C-Atome des *trans*-Isomers bei δ = 204.0 (“t”, *cis*-²J(PC) = 6.3 Hz).

6.3.4. [W(CO)₄(PPh₃)(Ph₂PC₆H₄NH₂-2)] (1d)

Synthese und Aufarbeitung wie bei **1b** aus 2.53 g (3.5 mmol) [NEt₄][W(CO)₄(PPh₃Cl)], 1.28 g (4.6 mmol) Ph₂PC₆H₄NH₂-2 und 0.60 g (5.5 mmol) Na[BF₄] in 30 ml Ethanol: 1.37 g (46%) *cis/trans*-Isomerengemisch mit stark überwiegenderem *cis*-Anteil. Gef.: C, 57.22; H, 4.08; N, 1.21. C₄₀H₃₁NO₄P₂W (835.48) ber.: C, 57.50; H, 3.74; N, 1.68%.

6.3.5. *cis*-[W(CO)₄(PMe₃)(Ph₂PC₆H₄CO₂H-2)] (2a)

1.70 g (3.2 mmol) [NEt₄][W(CO)₄(PMe₃Cl)], 1.29 g (4.2 mmol) Ph₂PC₆H₄CO₂H-2 und 0.56 g (5.1 mmol) Na[BF₄] wurden in 50 ml Ethanol 2 h bei 50°C gerührt. Der nach Abziehen des Lösemittels verbleibende Rückstand wurde mit 6 × 10 ml Ether extrahiert. Die filtrierten Extrakte wurden im Vakuum zur Trockne eingedampft; das erhaltene Rohprodukt wurde durch Digerieren, zunächst mit n-Pentan (100 ml), dann mit möglichst wenig Ether (2 × 3 ml), gereinigt. Ausb.: 0.61

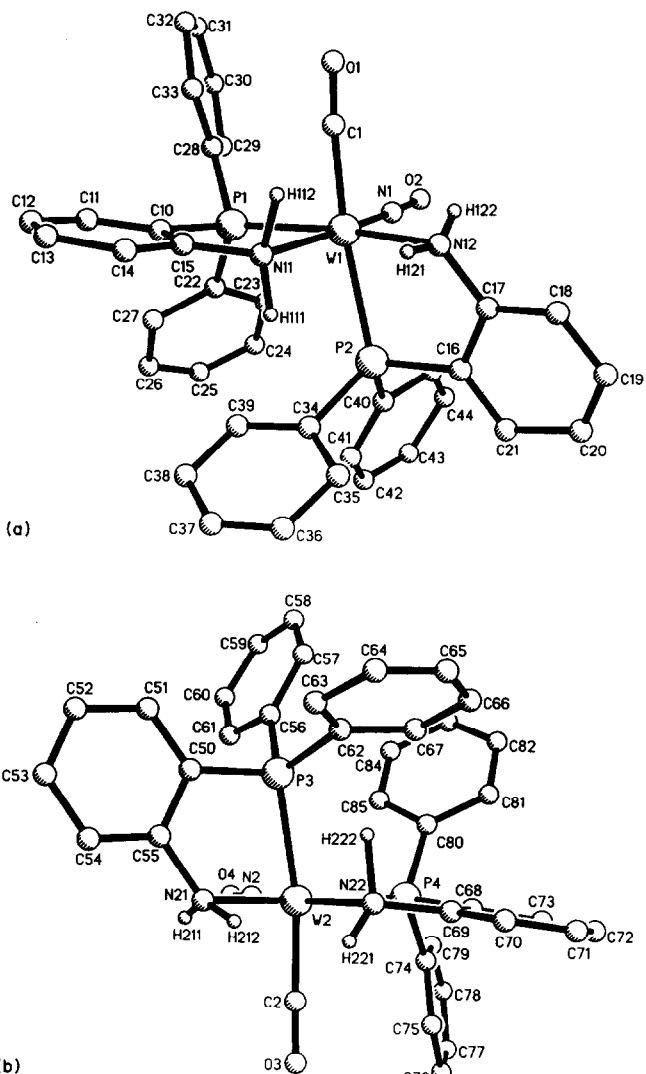


Abb. 6. Strukturen der beiden symmetrieunabhängigen Kationen in der asymmetrischen Einheit von $[W(CO)(NO)(\eta^2-Ph_2PC_6H_4NH_2)_2]_2[BF_4]$ (9). Ausgewählte Bindungsabstände (\AA) und -winkel ($^\circ$): Kation 1; W(1)–P(1), 2.419(7); W(1)–P(2), 2.528(5); W(1)–N(1), 1.800(19); W(1)–N(11), 2.336(14); W(1)–N(12), 2.230(21); W(1)–C(1), 1.968(19); N(1)–O(2), 1.208(25); C(1)–O(1), 1.152(24). P(1)–W(1)–P(2), 102.6(2); P(1)–W(1)–N(1), 93.4(8); P(1)–W(1)–N(11), 79.0(4); P(1)–W(1)–N(12), 165.1(4); P(1)–W(1)–C(1), 86.9(6); P(2)–W(1)–N(1), 93.4(6); P(2)–W(1)–N(11), 87.8(4); P(2)–W(1)–N(12), 75.1(5); P(2)–W(1)–C(1), 169.7(6); N(1)–W(1)–N(11), 172.3(9); N(1)–W(1)–N(12), 101.4(9); N(1)–W(1)–C(1), 90.2(8); N(11)–W(1)–N(12), 86.2(6); N(11)–W(1)–C(1), 89.9(6); N(12)–W(1)–C(1), 94.7(8); W(1)–N(1)–O(2), 177.5(18); W(1)–C(1)–O(1), 173.9(16). Kation 2; W(2)–P(3), 2.532(6); W(2)–P(4), 2.417(6); W(2)–N(2), 1.805(15); W(2)–N(21), 2.262(16); W(2)–N(22), 2.341(14); W(2)–C(2), 1.963(24); N(2)–O(4), 1.208(21); C(2)–O(3), 1.20(3). P(3)–W(2)–P(4), 101.3(2); P(3)–W(2)–N(2), 93.8(6); P(3)–W(2)–N(21), 75.6(5); P(3)–W(2)–N(22), 86.2(5); P(3)–W(2)–C(2), 165.0(6); P(4)–W(2)–N(2), 93.6(5); P(4)–W(2)–N(21), 165.4(4); P(4)–W(2)–N(22), 79.7(4); P(4)–W(2)–C(2), 91.9(6); N(2)–W(2)–N(21), 100.8(7); N(2)–W(2)–N(22), 173.2(6); N(2)–W(2)–C(2), 92.2(8); N(21)–W(2)–N(22), 85.8(5); N(21)–W(2)–C(2), 89.9(7); N(22)–W(2)–C(2), 89.5(7); W(2)–N(2)–O(4), 172.1(16); W(2)–C(2)–O(3), 174.9(18).

g (28%). Gef.: C, 46.71; H, 3.49. $C_{26}H_{24}O_6P_2W$ (678.27) ber.: C, 46.04; H, 3.57%. 1H -NMR (Aceton- d_6): δ = 1.38 (d, $^2J(\text{PH})$ = 7.7 Hz, PCH_3); 11.39 (br, CO_2H). $^{13}\text{C}(^1\text{H})$ -NMR (Aceton- d_6): δ = 20.9 (d, $^1J(\text{PC})$ = 26.4 Hz, PCH_3); 168.2 (s, CO_2H); 205.1 (“t”, *cis*- $^2J(\text{PC})$ = 7.6 Hz, 2CO); 207.9 (dd, *cis*- $^2J(\text{PC})$ = 5.3, *trans*- $^2J(\text{PC})$ = 25.7 Hz, 1CO); 208.6 (dd, *cis*- $^2J(\text{PC})$ = 6.4, *trans*- $^2J(\text{PC})$ = 22.2 Hz, 1 CO).

6.3.6. $[W(CO)_4(PBu_3)(Ph_2PC_6H_4CO_2H-2)]$ (2b)

Die Darstellung erfolgte, wie für **2a** beschrieben, aus 1.42 g (2.1 mmol) [NEt₄][W(CO)₄(PBu₃)Cl], 0.86 g (2.8 mmol) Ph₂PC₆H₄CO₂H-2 und 0.36 g (3.3 mmol) Na[BF₄] in 20 ml Ethanol. Zur Reinigung des Rohproduktes wurde dieses in Ether an neutralem Kieselgel (Aktivitätsstufe I) chromatographiert: 1.17 g (71%) **2b** als *cis/trans*-Isomerengemisch. Gef.: C, 51.92; H, 5.27. C₃₅H₄₂O₆P₂W (804.51) ber.: C, 52.25; H, 5.26%. ¹H-NMR (Aceton-d₆): δ = 0.83 (t, ³J(HH) = 7.2 Hz, 3 Butyl-CH₃), 0.94–1.99 (m, 9 Butyl-CH₂); 11.27 (br, CO₂H). ¹³C{¹H}-NMR (CDCl₃): Butyl-C-Atome der Isomeren bei δ = 13.8 (s), 24.2 (d, J(PC) = 12.7 Hz), 24.3 (d, J(PC) = 12.1 Hz), 25.8 (s), 26.0 (s), 28.3 (d, J(PC) = 21.8 Hz) und 30.7 (d, J(PC) = 25.7 Hz); 167.6 (s, CO₂H, *cis*-Isomer); 167.4 (s, CO₂H, *trans*-Isomer); Carbonyl-C-Atome des *cis*-Isomers bei δ = 204.5 (“t”, *cis*-²J(PC) = 7.6 Hz, 2 CO), 206.3 (dd, *cis*-²J(PC) = 6.1, *trans*-²J(PC) = 22.8 Hz, 1 CO) und 207.0 (dd, *cis*-²J(PC) = 6.2, *trans*-²J(PC) = 26.6 Hz, 1 CO); Carbonyl-C-Atome des *trans*-Isomers bei δ = 204.3 (“t”, *cis*-²J(PC) = 6.2 Hz, ¹J(WC) = 126.9 Hz).

6.3.7. $[W(CO)_4(PPh_2Me)(Ph_2PC_6H_4CO_2H-2)]$ (2c)

Darstellung und Reinigung gemäß 2b ausgehend von 1.75 g (2.6 mmol) $[\text{NEt}_4]^+\text{W}(\text{CO})_4(\text{PPh}_2\text{Me})\text{Cl}$, 1.07 g (3.5 mmol) $\text{Ph}_2\text{PC}_6\text{H}_4\text{CO}_2\text{H}\text{-}2$ und 0.45 g (4.1 mmol) $\text{Na}[\text{BF}_4]^-$ in 20 ml Ethanol. Ausbeute 1.51 g (73%) *cis/trans*-Isomerengemisch. Gef.: C, 53.76; H, 3.51. $\text{C}_{36}\text{H}_{28}\text{O}_6\text{P}_2\text{W}$ (802.41) ber.: C, 53.89; H, 3.52%. $^1\text{H-NMR}$ (Aceton- d_6): $\delta = 1.78$ (d, $^2J(\text{PH}) = 6.4$ Hz, PCH_3 , *cis*-Isomer); 2.39 (d, $^2J(\text{PH}) = 6.8$ Hz, PCH_3 , *trans*-Isomer); 11.22 (br, CO_2H). $^{13}\text{C}^{\{1\}\text{H}}\text{-NMR}$ (Aceton- d_6): $\delta = 19.0$ (d, $^1J(\text{PC}) = 24.6$ Hz, PCH_3 , *cis*-Isomer); 22.6 (d, $^1J(\text{PC}) = 30.8$ Hz, PCH_3 , *trans*-Isomer); 167.2 (s, CO_2H , *cis*-Isomer); 167.8 (s, CO_2H , *trans*-Isomer); Carbonyl-C-Atome des *cis*-Isomers bei $\delta = 204.6$ ("t", *cis*- $^2J(\text{PC}) = 7.4$ Hz, 2 CO), 206.7 und 207.1 (jeweils dd mit schlecht aufgelösten PC-Kopplungen); Carbonyl-C-Atome des *trans*-Isomers bei $\delta = 204.3$ ("t", *cis*- $^2J(\text{PC}) = 6.2$ Hz).

6.3.8. $[W(CO)_4(PPh_3)(Ph_2PC_6H_4CO_2H-2)]$ (2d)

Synthese und Aufarbeitung wie bei **2b** aus 2.08 g (2.9 mmol) $[\text{NEt}_4][\text{W}(\text{CO})_4(\text{PPh}_3)\text{Cl}]$, 1.16 g (3.8 mmol)

$\text{Ph}_2\text{PC}_6\text{H}_4\text{CO}_2\text{H}$ -2 und 0.51 g (4.6 mmol) $\text{Na}[\text{BF}_4^-]$ in 25 ml Ethanol; Identifizierung durch IR- und NMR-Spektroskopie.

6.3.9. cis -[NEt_4] $[\text{W}(\text{CO})_4(\text{Ph}_2\text{PC}_6\text{H}_4\text{NH}_2\text{-}2)\text{Cl}]$ (3)

Der Komplex wurde auf dem für cis -[NEt_4] $[\text{W}(\text{CO})_4(\text{PMe}_3)\text{Cl}]$ beschriebenen Wege (s.o.) aus 3.73 g (10.6 mmol) $[\text{W}(\text{CO})_6]$, 1.75 g (10.6 mmol) $[\text{NEt}_4]\text{Cl}$ und 3.55 g (12.8 mmol) $\text{Ph}_2\text{PC}_6\text{H}_4\text{NH}_2\text{-}2$ mit 69% Ausb. erhalten. Gef.: C, 48.44; H, 5.37; N, 3.40. $\text{C}_{30}\text{H}_{36}\text{ClN}_2\text{O}_4\text{PW}$ (738.90) ber.: C, 48.77; H, 4.91; N, 3.79%.

6.3.10. $[\text{W}(\text{CO})_4(\eta^2\text{-Ph}_2\text{PC}_6\text{H}_4\text{NH}_2\text{-}2)]$ (4)

Der Chelat-Komplex kristallisierte bei Raumtemp. als Molekülverbindung mit 1 Mol $[\text{NEt}_4]\text{Cl}$ in Form großer transparenter hellgelber Prismen aus Lösungen von 3 in CH_2Cl_2 . Gef.: C, 49.33; H, 5.13; N, 3.49. $\text{C}_{30}\text{H}_{36}\text{ClN}_2\text{O}_4\text{PW}$ (738.90) ber.: C, 48.77; H, 4.91; N, 3.79%.

6.3.11. cis, cis -[$\text{W}(\text{CO})_2(\text{NO})(\text{PMe}_3)(\eta^2\text{-Ph}_2\text{PC}_6\text{H}_4\text{NH}_2\text{-}2)]$ $[\text{PF}_6^-]$ (7a)

Zu einer Lösung von 0.24 g (1.1 mmol) $[\text{W}(\text{CO})_5(\text{PMe}_3)]$ [23] in 15 ml CH_2Cl_2 wurden 0.19 g (1.1 mmol) $\text{NO}[\text{PF}_6^-]$ (Strem Chemicals) gegeben. Unter heftiger Gasentwicklung und Niederschlagsbildung

färbte sich die Reaktionsmischung orange. Die filtrierte Lösung des *in situ* gebildeten Komplexes $[\text{W}(\text{CO})_3(\text{NO})(\text{PMe}_3)(\text{PF}_5)]$ wurde mit 0.31 g (1.1 mmol) $\text{Ph}_2\text{PC}_6\text{H}_4\text{NH}_2\text{-}2$ in 15 ml CH_2Cl_2 versetzt und 2 h bei Raumtemp. gerührt. Das nach Entfernen des Lösemittels erhaltene Rohprodukt wurde in 5 ml CH_2Cl_2 gelöst, die Lösung filtriert und auf -50°C gekühlt. Nach Überschichten mit 15 ml n-Hexan, Erwärmen auf Raumtemp. und erneutem Abkühlen auf -20°C erhielt man 7a als hellgelben kristallinen Niederschlag, der mit 2×2 ml CH_2Cl_2 /n-Hexan in der Kälte gewaschen und im Vakuum getrocknet wurde. Ausb.: 0.28 g (36%). Gef.: C, 36.01; H, 3.01; N, 3.64. $\text{C}_{23}\text{H}_{25}\text{F}_6\text{N}_2\text{O}_3\text{P}_3\text{W}$ (768.22) ber.: C, 35.96; H, 3.28; N, 3.65%. $^1\text{H-NMR}$ (CD_2Cl_2): $\delta = 1.16$ (d, $^2J(\text{PH}) = 8.5$ Hz, PCH_3); 4.79 und 5.04 (jeweils br. AB-Dublett, $^2J(\text{HH}) \approx 15$ Hz, NH_2). $^{13}\text{C}\{^1\text{H}\}$ -NMR (THF- d_8): $\delta = 15.1$ (d, $^1J(\text{PC}) = 28.6$ Hz, PCH_3); 210.3 (dd, cis - $^2J(\text{PC}) = 6.3$, $trans$ - $^2J(\text{PC}) = 40.2$ Hz, CO).

6.3.12. cis,cis -[$\text{W}(\text{CO})_2(\text{NO})(\text{PPh}_2\text{Me})(\eta^2\text{-Ph}_2\text{PC}_6\text{H}_4\text{NH}_2\text{-}2)]$ $[\text{PF}_6^-]$ (7b)

Die Darstellung erfolgte entsprechend 7a aus 0.73 g (1.4 mmol) $[\text{W}(\text{CO})_5(\text{PPh}_2\text{Me})]$ [24], 0.24 g (1.4 mmol) $\text{NO}[\text{PF}_6^-]$ und 0.47 g (1.7 mmol) $\text{Ph}_2\text{PC}_6\text{H}_4\text{NH}_2\text{-}2$ in CH_2Cl_2 ; Identifizierung durch IR- und NMR-Spektroskopie.

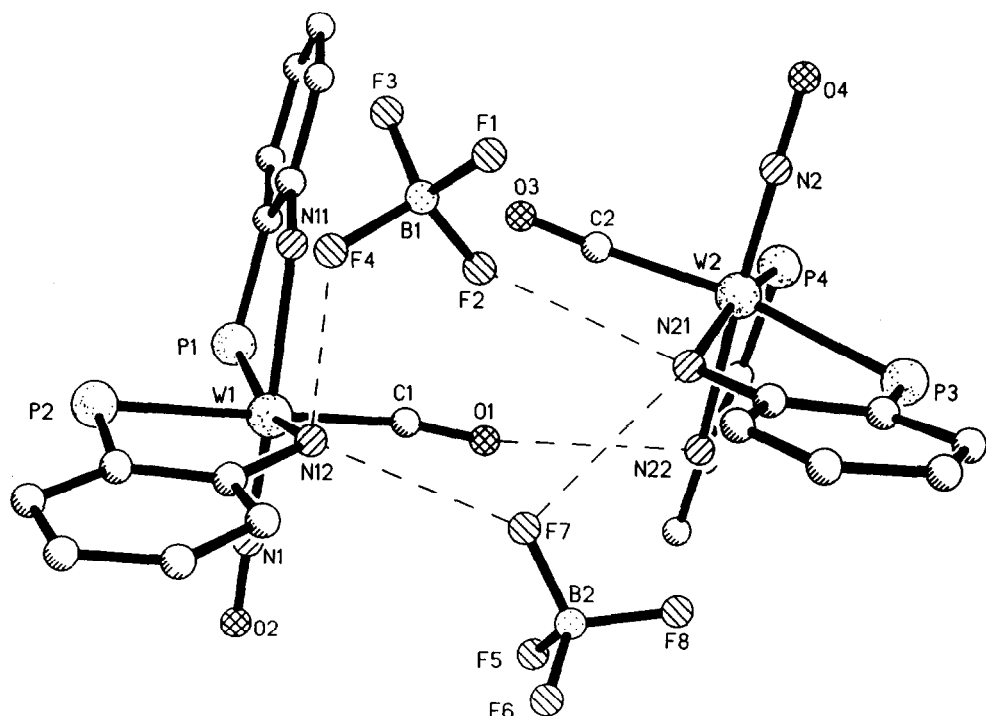


Abb. 7. Verknüpfung der Kationen 1 und 2 (ohne Phenylringe an P(1) bis P(4)) von Komplex 9 mit ihren $[\text{BF}_4^-]$ -Gegenionen. Wasserstoffverbrückte Kontaktabstände: $\text{N}(12) \cdots \text{F}(4)$, 2.889; $\text{N}(12) \cdots \text{F}(7)$, 2.905; $\text{N}(21) \cdots \text{F}(2)$, 2.870; $\text{N}(21) \cdots \text{F}(7)$, 2.913; $\text{O}(1) \cdots \text{N}(22)$, 2.952 Å.

**6.3.13. *cis,cis-[W(CO)₂(NO)(η¹-Ph₂PC₆H₄NH₂-2)-
(η²-Ph₂PC₆H₄NH₂-2)][SbF₆] (8-SbF₆)***

Die Lösung von 0.29 g (0.5 mmol) [W(CO)₂(NO)-(MeCN)₃][SbF₆] [17] in 3 ml CH₂Cl₂ wurde mit 0.30 g (1.1 mmol) Ph₂PC₆H₄NH₂-2, gelöst in 5 ml CH₂Cl₂, 15 min bei Raumtemp. gerührt und dann zur Trockne eingedampft. Nach zweimaligem Umkristallisieren aus CH₂Cl₂/Ether wurden 0.22 g (40%) hellgelbe Kristalle erhalten. Gef.: C, 43.22; H, 3.28; N, 3.51. C₃₈H₃₂F₆N₃O₃P₂SbW (1060.23) ber.: C, 43.05; H, 3.04; N, 3.96%.

**6.3.14. *cis,cis-[W(CO)(NO)(η²-Ph₂PC₆H₄NH₂-2)₂]
[BF₄] (9)***

0.54 g (1.1 mmol) [W(CO)₂(NO)(MeCN)₃][BF₄] und 0.92 g (3.3 mmol) Ph₂PC₆H₄NH₂-2 wurden in CH₂Cl₂ (10 ml) 5 min bei Raumtemp. gerührt. Nach Entfernen des Lösemittels verblieb ein Gemisch aus **8**-BF₄ und **9** als oranger Feststoff, der in 5 ml CH₂Cl₂ erneut aufgelöst wurde. Nach 2 h bei Raumtemp. wurden unter Röhren 30 ml Ether zugetropft, wobei sich ein gelber flockiger Niederschlag bildete, der verworfen wurde. Die klare Lösung wurde im Vakuum eingedampft und der Rückstand aus CH₂Cl₂/Ether umkristallisiert. Ausb.: 0.61 g (64%) oranger Komplex **9**. Gef.: C, 50.87; H, 3.94; N, 4.64. C₃₇H₃₂BF₄N₃O₂P₂W (883.28) ber.: C, 50.31; H, 3.65; N, 4.76%. ¹³C{¹H}-NMR (CDCl₃): δ = 227.8 (dd, *cis*-²J(PC) = 3.2, *trans*-²J(PC) = 47.4 Hz, CO).

6.4. Strukturanalytische Arbeiten [25*]

6.4.1. [NEt₄][W(CO)₄(PPh₂Me)Cl]

Kristallzuchf aus Aceton; Kristallgröße ca. 0.2 × 0.2 × 0.2 mm; Philips PW 1100 (18 ± 2°C); Ag-Kα-Strahlung ($\lambda = 0.56014 \text{ \AA}$); Bestimmung der Gitterkonstanten mit Hilfe 65 diffraktometrisch zentrierter Reflexe ($16^\circ \leq 2\theta \leq 28^\circ$); $M_r = 661.82$ (C₂₅H₃₃CINO₄PW); monoklin P2₁; $a = 8.4912(5)$, $b = 18.153(1)$, $c = 9.3818(4) \text{ \AA}$, $\beta = 105.831(4)^\circ$, $V = 1391.3(1) \text{ \AA}^3$; $Z = 2$, $D_c = 1.580 \text{ g cm}^{-3}$; $\mu(\text{Ag-K}\alpha) = 21.9 \text{ cm}^{-1}$. ω -scan ($6^\circ \leq 2\theta \leq 40^\circ$; $-10 \leq h \leq 14$, $-22 \leq k \leq 22$, $0 \leq l \leq 11$); 4946 unabhängige Reflexe mit 3601 signifikanten Strukturfaktoren ($|F_o| > 4\sigma|F_c|$); keine Absorptionskorrektur. Lösung der Struktur durch Patterson-Synthese (SHELXS86 [26]) und anschließende Differenz-Fourier-Synthesen; Verfeinerung nach Blockmatrix-LSQ-Methoden mit anisotropen Temperaturfaktoren ohne Berücksichtigung der H-Atome (SHELXS76 [27]);

TABELLE 3. Atomkoordinaten ($\times 10^{-4}$) und äquivalente isotrope Temperaturfaktoren U_{eq} ^a ($\text{\AA}^2 \times 10^3$) von [NEt₄][W(CO)₄(PPh₂Me)Cl]^b

Atom	x	y	z	U_{eq}
W(1)	61(1)	0(0)	1189(1)	45(1)
P(1)	-2731(6)	594(3)	216(6)	52(3)
Cl(1)	-1697(8)	-1179(3)	554(7)	86(4)
C(1)	-275(26)	184(12)	3194(14)	65(15)
O(1)	-349(23)	288(9)	4330(11)	102(14)
C(2)	1443(19)	913(8)	1477(27)	78(16)
O(2)	2266(18)	1392(7)	1751(24)	101(13)
C(3)	2062(18)	-601(11)	2106(21)	55(12)
O(3)	3185(15)	-904(9)	2665(18)	85(12)
C(4)	547(22)	-25(27)	-786(14)	75(13)
O(4)	893(20)	-95(19)	-1832(13)	122(15)
C(5)	-4171(19)	172(7)	1136(19)	54(11)
C(6)	-3724(20)	488(10)	-1760(20)	51(10)
C(7)	-2896(27)	777(13)	-2754(27)	75(15)
C(8)	-3560(43)	724(16)	-4284(28)	104(21)
C(9)	-5143(39)	442(13)	-4894(30)	97(19)
C(10)	-5873(28)	190(13)	-3894(30)	106(20)
C(11)	-5316(26)	215(10)	-2313(29)	81(15)
C(12)	-2948(23)	1616(10)	442(21)	55(11)
C(13)	-4309(28)	1914(13)	732(27)	82(16)
C(14)	-4385(33)	2713(15)	823(34)	99(20)
C(15)	-3191(41)	3137(13)	573(33)	99(21)
C(16)	-1867(29)	2835(12)	316(28)	75(15)
C(17)	-1689(28)	2064(12)	205(25)	73(15)
N(1)	1902(20)	2780(10)	-4600(20)	67(11)
C(18)	3388(31)	2981(14)	-3475(28)	87(17)
C(19)	4896(33)	2506(16)	-3497(47)	125(23)
C(20)	1275(73)	2028(27)	-4413(110)	235(63)
C(21)	1254(66)	1813(28)	-2776(63)	215(50)
C(22)	2021(50)	2888(20)	-6254(38)	143(30)
C(23)	2723(67)	3632(22)	-6492(47)	205(43)
C(24)	494(52)	3306(18)	-4381(37)	145(30)
C(25)	-1284(48)	3143(24)	-5368(46)	136(30)

^a Berechnet als ein Drittel der Spur des orthogonalen U_{ij} -Tensors.

^b Atome W(1) bis C(17): [W(CO)₄(PPh₂Me)Cl]⁻; Atome N(1) bis C(25): [NEt₄]⁺.

Konvergenz bei $R = 0.056$ und $wR_F = 0.064$; minimierte Funktion: $\sum w(|F_o| - |F_c|)^2$ mit Einheitsgewichten. Atomkoordinaten und äquivalente isotrope Temperaturfaktoren in Tab. 3.

6.4.2. [W(CO)₄(PPh₂Me)(Ph₂PC₆H₄NH₂-2)]

Einkristalle aus THF/n-Pentan; Kristallgröße ca. 0.4 × 0.4 × 0.15 mm; Philips PW 1100 (18 ± 2°C); Ag-Kα-Strahlung ($\lambda = 0.56014 \text{ \AA}$); Gitterkonstanten aus 60 diffraktometrisch zentrierten Reflexen ($16^\circ \leq 2\theta \leq 20^\circ$); $M_r = 773.42$ (C₃₅H₂₉NO₄P₂W); monoklin P2₁/n; $a = 16.9910(3)$, $b = 16.2929(4)$, $c = 11.5395(3) \text{ \AA}$, $\beta = 90.937(2)^\circ$, $V = 3194.1(1) \text{ \AA}^3$; $Z = 4$, $D_c = 1.609 \text{ g cm}^{-3}$, $\mu(\text{Ag-K}\alpha) = 20.3 \text{ cm}^{-1}$. ω -scan ($6^\circ \leq 2\theta \leq 36^\circ$; $-18 \leq h \leq 18$, $-2 \leq k \leq 17$, $-2 \leq l \leq 12$); 4242 unabhängige Reflexe; keine Absorptionskorrektur. Lösung der Struktur durch Direkte Methoden (SHELXS86) und anschließende Differenz-Fourier-Synthesen; Ver-

* Die Literaturnummer mit einem Sternchen deutet eine Bemerkung in der Literaturliste an.

feinerung nach Vollmatrix-LSQ-Methoden; anisotrope Auslenkungsparameter für alle Nicht-H-Atome mit Ausnahme des Kohlenstoffatoms C(4), das nur isotrop zu verfeinern war; H-Atome in geometrisch idealisierten Positionen mit isotropem Verhalten und freier Drehbarkeit der Methylgruppen berücksichtigt (SHELX93 [28]); Gütefaktoren: $wR_{\text{F}^2} = 0.143$ ($R = 0.094$) für alle 4242 Daten, $R = 0.045$ für $2916 |F_o| > 4\sigma |F_o|$; minimierte Funktion: $\sum w(F_o^2 - F_c^2)^2$; $w =$

TABELLE 4. Atomkoordinaten ($\times 10^{-4}$) und äquivalente isotrope Temperaturfaktoren U_{eq} ^a ($\text{\AA}^2 \times 10^3$) von $[\text{W}(\text{CO})_4(\eta^2\text{-Ph}_2\text{PC}_6\text{H}_4\text{-NH}_2\text{-2})] \cdot [\text{NEt}_4]\text{Cl}$

Atom	x	y	z	U_{eq}
W(1)	2738(1)	2666(1)	367(1)	36(1)
C(1)	1618(7)	2249(6)	298(10)	44(3)
O(1)	982(5)	2011(6)	284(8)	75(3)
C(2)	3092(8)	1680(8)	-500(3)	55(3)
O(2)	3307(6)	1106(6)	-965(8)	88(3)
C(3)	3872(7)	3009(7)	531(10)	45(3)
O(3)	4533(5)	3142(6)	662(8)	70(3)
C(4)	2911(6)	1994(7)	1785(9)	41(3)
O(4)	3032(5)	1582(6)	2571(7)	73(3)
P(1)	2600(2)	3433(2)	-1574(2)	39(1)
C(111)	1585(6)	3717(7)	-1964(8)	39(3)
C(112)	1345(7)	4541(9)	-2122(9)	58(3)
C(113)	549(8)	4698(8)	-2312(11)	66(4)
C(114)	4(8)	4091(10)	-2337(11)	68(4)
C(115)	226(7)	3290(10)	-2178(10)	68(4)
C(116)	1016(7)	3119(9)	-2015(9)	58(3)
C(121)	3150(6)	4378(7)	-1781(9)	42(3)
C(122)	3200(7)	4785(8)	-2847(10)	51(3)
C(123)	3651(8)	5508(8)	-2942(12)	64(4)
C(124)	4061(8)	5808(9)	-2035(13)	72(4)
C(125)	4015(7)	5401(8)	-989(12)	63(4)
C(126)	3581(7)	4714(8)	-882(10)	50(3)
N(1)	2826(7)	4507(8)	-3832(11)	92(4)
C(131)	2963(7)	2836(7)	-2771(9)	46(3)
C(132)	3765(8)	2676(9)	-2817(11)	68(4)
C(133)	4077(9)	2203(9)	-3690(14)	81(5)
C(134)	3605(11)	1864(10)	-4515(13)	89(5)
C(135)	2820(10)	1968(12)	-4451(12)	93(5)
C(136)	2495(8)	2464(7)	-3616(11)	64(4)
P(2)	2323(2)	3874(2)	1593(2)	40(1)
C(211)	3149(6)	4362(7)	2355(9)	39(3)
C(212)	3401(7)	5158(8)	2119(10)	55(3)
C(213)	4046(8)	5496(9)	2721(12)	74(4)
C(214)	4414(9)	5036(11)	3542(13)	83(5)
C(215)	4168(8)	4274(10)	3793(12)	77(4)
C(216)	3543(7)	3914(8)	3207(10)	56(3)
C(221)	1672(6)	3694(7)	2829(9)	43(3)
C(222)	1335(8)	2950(10)	3015(11)	71(4)
C(223)	820(9)	2859(10)	3945(12)	83(5)
C(224)	665(8)	3488(11)	4662(11)	78(5)
C(225)	1003(8)	4233(10)	4456(11)	66(4)
C(226)	1503(7)	4332(8)	3568(9)	53(3)
C(231)	1800(7)	4711(7)	851(10)	53(3)

^a s. Tab. 3.

TABELLE 5. Atomkoordinaten ($\times 10^4$) und äquivalente isotrope Temperaturfaktoren U_{eq} ^a ($\text{\AA}^2 \times 10^3$) von $[\text{W}(\text{CO})_4(\eta^2\text{-Ph}_2\text{PC}_6\text{H}_4\text{-NH}_2\text{-2})] \cdot [\text{NEt}_4]\text{Cl}$ ^b

Atom	x	y	z	U_{eq}
W(1)	924(1)	53(1)	2776(1)	32(1)
C(1)	2460(10)	514(7)	2701(9)	42(3)
O(1)	3320(9)	804(6)	2742(8)	83(8)
C(2)	1275(12)	373(7)	4121(10)	53(4)
O(2)	1465(10)	556(6)	4891(7)	89(4)
C(3)	210(10)	990(8)	2381(10)	51(4)
O(3)	-107(9)	1570(5)	2217(7)	68(3)
C(4)	-684(11)	-351(6)	2866(9)	39(3)
O(4)	-1576(8)	-507(5)	2932(7)	72(3)
P(1)	1884(3)	-1134(2)	3076(2)	33(1)
C(11)	1365(9)	-1611(6)	1961(8)	35(3)
C(12)	1492(12)	-2331(6)	1826(9)	53(4)
C(13)	1076(12)	-2663(7)	956(10)	59(4)
C(14)	509(12)	-2262(7)	200(9)	49(4)
C(15)	352(10)	-1529(7)	336(9)	47(3)
C(16)	747(10)	-1217(6)	1203(8)	35(3)
N(1)	583(8)	-456(5)	1290(7)	31(2)
C(21)	3485(10)	-1158(6)	3277(7)	32(3)
C(22)	4112(11)	-827(6)	4083(9)	45(3)
C(23)	5310(10)	-823(6)	4276(9)	45(3)
C(24)	5900(11)	-1134(7)	3683(10)	51(4)
C(25)	5289(11)	-1480(9)	2890(9)	71(5)
C(26)	4069(11)	-1491(7)	2678(8)	50(4)
C(31)	1672(9)	-1717(6)	4038(7)	32(3)
C(32)	903(10)	-1500(7)	4577(8)	45(3)
C(33)	725(12)	-1929(8)	5341(9)	56(4)
C(34)	1334(13)	-2548(8)	5547(10)	60(4)
C(35)	2113(12)	-2751(7)	5035(10)	57(4)
C(36)	2279(11)	-2335(7)	4276(8)	45(3)
N(40)	-3746(8)	1319(5)	1684(7)	43(3)
C(41)	-2997(11)	1073(8)	2621(9)	58(4)
C(42)	-3595(12)	1056(9)	3436(10)	79(5)
C(43)	-4182(11)	2068(7)	1773(10)	55(4)
C(44)	-3263(14)	2625(8)	2013(12)	101(7)
C(45)	-2964(10)	1286(7)	976(9)	50(4)
C(46)	-3492(12)	1548(8)	-2(9)	70(5)
C(47)	-4793(11)	868(7)	1374(9)	53(4)
C(48)	-4574(14)	87(8)	1338(11)	90(6)
Cl(1)	2094(3)	298(2)	-7(2)	56(1)

^a s. Tab 3. ^b Atome W(1) bis C(36): $[\text{W}(\text{CO})_4(\eta^2\text{-Ph}_2\text{PC}_6\text{H}_4\text{-NH}_2\text{-2})]$; Atome N(40) bis Cl(1): $[\text{NEt}_4]\text{Cl}$.

$1/\{\sigma^2(F_o^2) + [0.0644(\text{Max}(F_o^2, 0) + 2F_c^2)/3]^2\}$. Ergebnisse in Tab. 4.

6.4.3. $[\text{W}(\text{CO})_4(\eta^2\text{-Ph}_2\text{PC}_6\text{H}_4\text{-NH}_2\text{-2})] \cdot [\text{NEt}_4]\text{Cl}$
Einkristalline Prismen aus CH_2Cl_2 ; Kristallgröße ca. $0.3 \times 0.3 \times 0.2$ mm; Philips PW 1100 ($18 \pm 2^\circ\text{C}$); Ag-K α -Strahlung ($\lambda = 0.56014 \text{\AA}$); Gitterkonstanten aus 23 diffraktometrisch zentrierten Reflexen ($18^\circ \leq 2\theta \leq 26^\circ$); $M_r = 738.90$ ($\text{C}_{30}\text{H}_{36}\text{ClN}_2\text{O}_4\text{PW}$); monoklin $P2_1/n$; $a = 11.774(1)$, $b = 18.755(3)$, $c = 14.493(3) \text{\AA}$, $\beta = 103.10(1)^\circ$, $V = 3117.1(9) \text{\AA}^3$; $Z = 4$, $D_c = 1.575 \text{ g cm}^{-3}$; $\mu(\text{Ag-K}\alpha) = 20.9 \text{ cm}^{-1}$. ω -scan ($6^\circ \leq 2\theta \leq 38^\circ$; $-13 \leq h \leq 13$, $-2 \leq k \leq 21$, $-2 \leq l \leq 16$); 5097 un-

abhängige Reflexe; keine Absorptionskorrektur. Lösung und Verfeinerung durch Direkte Methoden (SHELXS86) und Vollmatrix-LSQ-Verfahren; anisotrope Auslenkungsparameter für alle Nicht-H-Atome; Berücksichtigung der H-Atome in geometrisch idealisierten Positionen mit isotropem Verhalten und freier Drehbarkeit der Methylgruppen (SHELX93); $wR_{F^2} = 0.134$ ($R = 0.139$) für alle 5097 Daten, $R = 0.056$ für 2770 $|F_o| > 4\sigma |F_o|$; minimierte Funktion: $\sum w(F_o^2 - F_c^2)^2$; $w = 1/\{\sigma^2(F_o^2) + [0.0539 \text{ (Max } (F_o^2, 0) + 2F_c^2)/3]^2\}$. Ergebnisse in Tab. 5.

TABELLE 6. Atomkoordinaten ($\times 10^4$) und äquivalente isotrope Temperaturfaktoren U_{eq}^{a} ($\text{\AA}^2 \times 10^3$) von $[\text{W}(\text{CO})_2(\text{NO})(\text{PMe}_3)(\eta^2\text{-Ph}_2\text{PC}_6\text{H}_4\text{NH}_2\text{-2})]\text{[PF}_6\text{]}^{\text{b}}$

Atom	<i>x</i>	<i>y</i>	<i>z</i>	U_{eq}
W(1)	7215(1)	74(1)	4534(1)	43(1)
P(1)	6996(2)	-2112(3)	5144(2)	43(1)
P(2)	6597(2)	-1090(3)	3226(2)	52(2)
O(1)	7861(8)	2666(12)	3902(7)	114(7)
O(2)	7862(8)	1747(12)	6053(6)	115(7)
O(3)	5507(7)	1374(13)	4190(7)	120(7)
N(1)	6191(7)	847(12)	4308(6)	68(5)
N(2)	8467(5)	-1142(10)	4862(5)	53(4)
C(1)	7631(10)	1711(15)	4113(8)	76(7)
C(2)	7685(8)	1081(13)	5526(8)	67(7)
C(3)	6701(12)	0(14)	2505(8)	86(7)
C(4)	7036(9)	-2760(15)	3129(8)	82(7)
C(5)	5464(7)	-1382(21)	2836(8)	97(8)
C(6)	7926(7)	-3165(12)	5312(6)	52(5)
C(7)	8052(8)	-4527(13)	5594(7)	65(6)
C(8)	8794(10)	-5291(14)	5742(8)	73(7)
C(9)	9420(9)	-4662(15)	5611(8)	73(6)
C(10)	9319(8)	-3286(14)	5320(7)	64(6)
C(11)	8569(6)	-2556(11)	5163(6)	47(4)
C(12)	6077(8)	-3241(14)	4646(6)	63(5)
C(13)	5282(9)	-2750(24)	4586(9)	123(10)
C(14)	4561(13)	-3577(35)	4174(13)	178(17)
C(15)	4586(20)	-4727(34)	3779(17)	196(21)
C(16)	5298(17)	-5129(22)	3792(14)	140(14)
C(17)	6073(11)	-4428(16)	4250(8)	86(8)
C(18)	7003(7)	-1861(12)	6062(7)	54(5)
C(19)	7399(14)	-2656(20)	6681(10)	126(12)
C(20)	7413(22)	-2297(46)	7434(17)	329(36)
C(21)	6918(20)	-1736(35)	7343(13)	179(18)
C(22)	6448(16)	-529(32)	6823(19)	171(20)
C(23)	6468(10)	-903(35)	6139(11)	175(14)
P(3)	5389(2)	4037(4)	1540(2)	62(1)
F(1)	6128(8)	4234(13)	2341(5)	147(6)
F(2)	5877(7)	2774(11)	1357(5)	131(6)
F(3)	4624(6)	3784(11)	725(5)	123(5)
F(4)	5002(7)	2897(11)	1875(6)	122(6)
F(5)	4895(10)	5269(12)	1661(8)	153(9)
F(6)	5820(10)	5093(11)	1209(9)	148(10)

^a s. Tab. 3. ^b Atome W(1) bis C(23): $[\text{W}(\text{CO})_2(\text{NO})(\text{PMe}_3)(\eta^2\text{-Ph}_2\text{PC}_6\text{H}_4\text{NH}_2\text{-2})]^+$; Atome P(3) bis F(6): $[\text{PF}_6]^-$.

TABELLE 7. Atomkoordinaten ($\times 10^4$) und äquivalente isotrope Temperaturfaktoren U_{eq}^{a} ($\text{\AA}^2 \times 10^3$) von $[\text{W}(\text{CO})_2(\text{NO})(\eta^1\text{-Ph}_2\text{P-C}_6\text{H}_4\text{NH}_2\text{-2})(\eta^2\text{-Ph}_2\text{PC}_6\text{H}_4\text{NH}_2\text{-2})]\text{[SbF}_6\text{]} \cdot 0.5\text{Et}_2\text{O} \cdot 0.5\text{CH}_2\text{Cl}_2^{\text{b}}$

Atom	<i>x</i>	<i>y</i>	<i>z</i>	U_{eq}
W(1)	2316(1)	2407(1)	9858(1)	30(1)
P(1)	3874(2)	2777(1)	9207(1)	31(1)
P(2)	394(2)	1590(1)	9003(1)	30(1)
O(1)	508(5)	2292(3)	10785(2)	60(1)
O(2)	4492(5)	3338(3)	11020(3)	72(1)
O(3)	3342(5)	1107(3)	10214(2)	63(1)
N(1)	2880(5)	1616(3)	10075(3)	44(1)
N(2)	1816(5)	3457(3)	9586(2)	35(1)
N(3)	-934(5)	2896(3)	9013(3)	38(1)
C(1)	1133(6)	2350(3)	10433(3)	42(1)
C(2)	3713(7)	3025(4)	10583(3)	50(1)
C(3)	2501(6)	3862(3)	9200(3)	32(1)
C(4)	2143(7)	4498(4)	9028(3)	52(1)
C(5)	2788(7)	4891(4)	8667(3)	53(1)
C(6)	3778(7)	4661(4)	8469(3)	54(1)
C(7)	4111(6)	4026(3)	8624(3)	44(1)
C(8)	3497(6)	3629(3)	9003(3)	35(1)
C(9)	5532(6)	2955(3)	9683(3)	32(1)
C(10)	5946(6)	2404(4)	9984(3)	47(1)
C(11)	7219(7)	2502(4)	10357(4)	56(1)
C(12)	8044(7)	3153(4)	10447(3)	55(1)
C(13)	7667(7)	3708(4)	10141(3)	51(1)
C(14)	6412(6)	3606(3)	9763(3)	43(1)
C(15)	3922(6)	2302(3)	8457(3)	31(1)
C(16)	2807(6)	2157(3)	7960(3)	42(1)
C(17)	2774(7)	1763(4)	7393(3)	54(1)
C(18)	3844(7)	1528(4)	7302(4)	58(1)
C(19)	4978(7)	1688(4)	7789(4)	59(1)
C(20)	5014(7)	2071(4)	8359(3)	52(1)
C(21)	-417(6)	1960(3)	8327(3)	32(1)
C(22)	-958(6)	2567(3)	8407(3)	34(1)
C(23)	-1491(6)	2865(4)	7879(3)	46(1)
C(24)	-1516(6)	2547(4)	7284(3)	51(1)
C(25)	-1036(6)	1936(4)	7201(3)	47(1)
C(26)	-484(6)	1643(3)	7717(3)	40(1)
C(27)	-967(6)	1189(3)	9307(3)	36(1)
C(28)	-2245(6)	1157(3)	9005(3)	44(1)
C(29)	-3249(7)	835(4)	9248(4)	55(1)
C(30)	-2958(7)	537(4)	9788(4)	61(1)
C(31)	-1709(7)	541(4)	10082(4)	56(1)
C(32)	-687(6)	865(3)	9845(3)	41(1)
C(33)	808(6)	770(3)	8675(3)	31(1)
C(34)	2093(6)	744(3)	8704(3)	37(1)
C(35)	2365(7)	99(3)	8452(3)	44(1)
C(36)	1385(7)	-497(4)	8175(3)	54(1)
C(37)	123(7)	-474(4)	8145(4)	58(1)
C(38)	-179(7)	159(4)	8391(3)	50(1)
W(2)	1518(1)	3550(1)	4454(1)	26(1)
P(3)	-858(2)	2879(1)	4117(1)	28(1)
P(4)	2041(2)	3131(1)	5535(1)	28(1)
O(4)	4499(5)	4112(3)	4574(2)	64(1)
O(5)	1119(5)	4244(3)	3208(2)	54(1)
O(6)	1442(5)	5041(3)	5020(2)	57(1)
N(4)	1594(5)	2469(2)	3957(2)	31(1)
N(5)	1461(5)	4435(3)	4805(2)	37(1)
N(6)	3482(5)	2041(3)	4998(2)	40(1)
C(39)	3412(6)	3888(3)	4533(3)	37(1)
C(40)	1213(6)	3937(3)	3623(3)	32(1)
C(41)	472(6)	1863(3)	3777(3)	32(1)

TABELLE 7 (Fortsetzung)

Atom	<i>x</i>	<i>y</i>	<i>z</i>	<i>U</i> _{äq}
C(42)	616(6)	1179(3)	3674(3)	41(1)
C(43)	-427(6)	608(4)	3388(3)	49(1)
C(44)	-1653(6)	726(3)	3389(3)	46(1)
C(45)	-1821(6)	1400(3)	3594(3)	38(1)
C(46)	-743(6)	1983(3)	3795(3)	30(1)
C(47)	-1836(6)	3248(3)	3494(3)	32(1)
C(48)	-2524(6)	2831(3)	2920(3)	40(1)
C(49)	-3247(6)	3138(4)	2463(3)	53(1)
C(50)	-3299(7)	3856(4)	2570(3)	53(1)
C(51)	-2610(6)	4281(4)	3122(3)	50(1)
C(52)	-1851(6)	3985(3)	3587(3)	44(1)
C(53)	-1878(6)	2694(3)	4656(3)	29(1)
C(54)	-1877(6)	2075(3)	4937(3)	40(1)
C(55)	-2590(6)	1950(4)	5379(3)	53(1)
C(56)	-3273(6)	2436(4)	5543(3)	53(1)
C(57)	-3296(6)	3057(4)	5263(3)	49(1)
C(58)	-2603(6)	3179(3)	4823(3)	38(1)
C(59)	1203(6)	3484(3)	6090(3)	34(1)
C(60)	235(6)	3854(3)	5898(3)	33(1)
C(61)	-327(6)	4155(3)	6335(3)	40(1)
C(62)	98(6)	4119(3)	6955(3)	43(1)
C(63)	1058(6)	3746(4)	7154(3)	49(1)
C(64)	1634(6)	3437(3)	6732(3)	42(1)
C(65)	3726(6)	3484(3)	6010(3)	33(1)
C(66)	4278(6)	4212(4)	6038(3)	45(1)
C(67)	5479(7)	4525(4)	6434(3)	60(1)
C(68)	6120(7)	4108(4)	6825(4)	65(1)
C(69)	5587(6)	3397(4)	6811(3)	54(1)
C(70)	4384(6)	3081(4)	6400(3)	42(1)
C(71)	1787(6)	2150(3)	5543(3)	30(1)
C(72)	2516(6)	1727(3)	5273(3)	36(1)
C(73)	2230(6)	976(3)	5266(3)	47(1)
C(74)	1276(7)	658(4)	5522(3)	55(1)
C(75)	546(7)	1070(4)	5773(3)	51(1)
C(76)	823(6)	1812(3)	5802(3)	37(1)
Sb(1)	-1956(1)	5150(1)	8725(1)	42(1)
F(1)	-1151(5)	6108(3)	8986(3)	104(1)
F(2)	-3294(5)	5406(3)	8159(2)	95(1)
F(3)	-654(5)	4873(3)	9280(3)	101(1)
F(4)	-1067(5)	5071(3)	8113(2)	90(1)
F(5)	-2786(5)	4179(2)	8494(2)	85(1)
F(6)	-2836(4)	5241(2)	9353(2)	63(1)
Sb(2)	3872(1)	43(1)	3560(1)	86(1)
F(7)	2274(6)	-323(4)	3690(4)	160(1)
F(8)	3425(8)	-527(5)	2758(4)	214(1)
F(9)	4080(7)	762(4)	4164(4)	194(1)
F(10)	4287(8)	-749(5)	3776(5)	258(1)
F(11)	2965(8)	631(5)	3059(4)	225(1)
F(12)	5264(6)	414(4)	3330(4)	176(1)
O(7)	-2405(4)	7235(3)	7136(2)	52(1)
C(77)	-4485(7)	7346(5)	6559(4)	81(1)
C(78)	-3747(7)	6981(4)	7049(4)	74(1)
C(79)	-238(7)	7368(4)	7761(3)	66(1)
C(80)	-1665(7)	7043(4)	7681(3)	61(1)
Cl(1)	3099(3)	1498(2)	1677(2)	134(1)
Cl(2)	5563(3)	1200(2)	1645(2)	160(1)
C(81)	4081(8)	934(5)	1793(5)	113(1)

^a s. Tab. 3. ^b Atome W(1) bis C(76): [W(CO)₂(NO)(η¹-Ph₂PC₆H₄-NH₂-2)(η²-Ph₂PC₆H₄-NH₂-2)]⁺ (Kationen 1 und 2); Atome Sb(1) bis F(12): [SbF₆]⁻ (Anionen 1 und 2); Atome O(7) bis C(80): Solvat-Et₂O; Atome Cl(1) bis C(81): Solvat-CH₂Cl₂.

TABELLE 8. Atomkoordinaten ($\times 10^4$) und äquivalente isotrope Temperaturfaktoren $U_{\text{äq}}$ ^a ($\text{\AA}^2 \times 10^3$) von [W(CO)(NO)(η²-Ph₂PC₆H₄-NH₂-2)]BF₄·H₂O^b

Atom	<i>x</i>	<i>y</i>	<i>z</i>	<i>U</i> _{äq}
W(1)	7723(1)	7927(1)	6114(1)	49(1)
W(2)	7108(1)	6847(1)	8940(1)	44(1)
P(1)	6272(5)	8515(3)	6092(3)	55(2)
P(2)	7996(4)	7329(3)	4712(3)	51(2)
P(3)	8344(4)	6749(3)	9910(3)	50(2)
P(4)	6035(4)	7634(3)	9769(3)	49(2)
N(1)	8636(16)	8867(12)	6310(11)	93(2)
N(2)	6258(13)	5885(8)	8779(9)	62(2)
N(11)	6371(11)	6800(9)	5851(9)	52(2)
N(12)	8747(13)	7087(11)	6036(10)	78(2)
N(21)	8396(11)	6422(9)	8268(8)	56(2)
N(22)	8095(12)	8165(9)	9265(9)	59(2)
O(1)	7671(12)	8473(9)	7880(9)	84(2)
O(2)	9233(13)	9511(10)	6467(10)	106(2)
O(3)	5980(12)	6905(9)	7491(9)	89(2)
O(4)	5602(12)	5294(9)	8706(9)	86(2)
C(1)	7636(14)	8245(11)	7222(10)	53(2)
C(2)	6452(15)	6895(11)	8029(12)	65(2)
C(10)	5164(15)	7706(11)	6018(11)	61(2)
C(11)	4176(16)	7806(13)	6094(12)	72(2)
C(12)	3409(19)	7194(15)	6066(14)	100(2)
C(13)	3579(18)	6477(15)	5946(14)	95(2)
C(14)	4561(16)	6312(13)	5850(12)	76(2)
C(15)	5368(14)	6970(11)	5911(10)	53(2)
C(16)	9053(15)	6896(11)	4727(11)	62(2)
C(17)	9336(14)	6816(10)	5412(11)	53(2)
C(18)	10086(17)	6412(13)	5433(14)	88(2)
C(19)	10655(19)	6151(15)	4845(15)	105(2)
C(20)	10463(19)	6262(16)	4217(16)	118(2)
C(21)	9624(16)	6624(13)	4128(14)	84(2)
C(22)	6067(16)	8852(12)	5333(12)	70(2)
C(23)	6897(18)	9288(13)	5152(13)	88(2)
C(24)	6791(20)	9593(16)	4584(15)	114(2)
C(25)	5884(19)	9426(15)	4214(15)	110(2)
C(26)	5050(20)	8962(15)	4317(15)	109(2)
C(27)	5120(19)	8659(14)	4915(14)	97(2)
C(28)	6142(14)	9361(11)	6950(11)	58(2)
C(29)	6410(17)	10161(12)	6977(13)	84(2)
C(30)	6402(18)	10812(15)	7725(15)	102(2)
C(31)	6135(17)	10639(15)	8346(15)	104(2)
C(32)	5866(17)	9855(15)	8324(15)	99(2)
C(33)	5856(16)	9211(13)	7579(12)	77(2)
C(34)	6951(15)	6469(11)	4060(11)	63(2)
C(35)	7153(17)	5710(12)	3683(12)	78(2)
C(36)	6310(18)	5083(15)	3204(14)	102(2)
C(37)	5425(19)	5282(15)	3165(14)	103(2)
C(38)	5213(18)	6051(14)	3515(14)	95(2)
C(39)	6017(16)	6662(13)	4000(12)	78(2)
C(40)	8353(14)	7963(11)	4178(10)	57(2)
C(41)	7879(15)	7853(12)	3494(11)	63(2)
C(42)	8218(16)	8348(13)	3124(12)	75(2)
C(43)	9049(16)	8921(13)	3392(12)	81(2)
C(44)	9606(16)	9081(13)	4107(12)	77(2)
C(45)	9230(16)	8585(12)	4494(12)	75(2)
C(50)	9177(14)	6172(11)	9317(11)	55(2)
C(51)	9834(15)	5807(11)	1558(12)	68(2)
C(52)	10461(16)	5376(12)	9065(12)	73(2)
C(53)	10406(17)	5301(14)	8319(14)	94(2)
C(54)	9711(16)	5636(12)	8057(12)	74(2)

TABELLE 8 (Fortsetzung)

Atom	x	y	z	U_{eq}
C(55)	9087(15)	6051(11)	8537(11)	61(2)
C(56)	7922(14)	6206(11)	10520(11)	53(2)
C(57)	8191(14)	6501(12)	11296(11)	60(2)
C(58)	7790(16)	6036(13)	11701(12)	76(2)
C(59)	7117(16)	5335(13)	11354(13)	82(2)
C(60)	6897(16)	5025(13)	10599(13)	79(2)
C(61)	7260(15)	5454(12)	10165(12)	69(2)
C(62)	9216(14)	7717(10)	10541(10)	51(2)
C(63)	10268(16)	7866(13)	10466(12)	79(2)
C(64)	10862(19)	8672(14)	10942(14)	101(2)
C(65)	10431(18)	9215(15)	11405(14)	99(2)
C(66)	9392(16)	9099(13)	11492(12)	78(2)
C(67)	8753(16)	8328(12)	11048(11)	71(2)
C(68)	6700(14)	8697(10)	9969(11)	56(2)
C(69)	7608(14)	8829(10)	9698(10)	53(2)
C(70)	8130(16)	9621(12)	9842(12)	71(2)
C(71)	7671(18)	10231(15)	10216(14)	99(2)
C(72)	6756(18)	10127(14)	10460(14)	95(2)
C(73)	6245(17)	9346(12)	10333(12)	78(2)
C(74)	4735(15)	7566(11)	9405(11)	60(2)
C(75)	4535(18)	7767(14)	8811(14)	98(2)
C(76)	3512(19)	7650(15)	8483(15)	108(2)
C(77)	2783(20)	7368(15)	8811(16)	118(2)
C(78)	2899(21)	7154(17)	9395(17)	134(2)
C(79)	3891(17)	7245(14)	9696(14)	94(2)
C(80)	5865(14)	7558(11)	10658(10)	54(2)
C(81)	5931(16)	8226(13)	11381(12)	80(2)
C(82)	5776(17)	8085(15)	12044(14)	98(2)
C(83)	5513(16)	7304(14)	12018(13)	81(2)
C(84)	5448(15)	6653(13)	11330(12)	69(2)
C(85)	5640(14)	6785(11)	10682(11)	57(2)
B(1)	2666(12)	4679(10)	3876(10)	183(3)
F(1)	2558(20)	5230(12)	3572(15)	206(3)
F(11)	2750(18)	5617(14)	4089(14)	66(3)
F(2)	2445(16)	3913(10)	3303(11)	118(3)
F(22)	2994(25)	4402(22)	3206(22)	165(3)
F(3)	3650(13)	4853(16)	4200(15)	275(3)
F(33)	1494(19)	4507(16)	3591(16)	81(3)
F(4)	2010(18)	4712(16)	4421(12)	234(3)
F(44)	2567(20)	4661(16)	4546(16)	82(3)
B(2)	9657(13)	2024(11)	1877(11)	239(3)
F(5)	9802(20)	1252(11)	1661(16)	212(3)
F(55)	9740(24)	1341(21)	2184(21)	146(3)
F(6)	8708(13)	2054(17)	2115(16)	260(3)
F(66)	8685(22)	1756(19)	1923(19)	109(3)
F(7)	10378(16)	2559(14)	2467(12)	199(3)
F(77)	10717(21)	2361(17)	2177(17)	95(3)
F(8)	9735(20)	2242(15)	1262(12)	174(3)
F(88)	9833(22)	1886(18)	1194(17)	97(3)
O(5)	8228(15)	1389(12)	4166(11)	128(3)
O(6)	7205(15)	409(12)	2723(12)	133(3)

^a s. Tab. 3. ^b Atome W(1) bis C(85): [W(CO)(NO)(η^2 -Ph₂PC₆H₄-NH₂-2)₂]⁺ (Kationen 1 und 2); Atome B(1) bis F(88): [BF₄]⁻ (Anionen 1 und 2); Atome O(5) und O(6): Solvat-H₂O.

6.4.4. *cis,cis*-[W(CO)₂(NO)(PMe₃)(η^2 -Ph₂PC₆H₄-NH₂-2)][PF₆]⁻

Einkristalline Prismen aus CH₂Cl₂/n-Hexan; Kristallgröße ca. 0.35 × 0.25 × 0.20 mm; Nicolet R3 (22°C);

Mo-K α -Strahlung ($\lambda = 0.71073 \text{ \AA}$); $M_r = 768.22$ (C₂₃H₂₅F₆N₂O₃P₃W); monoklin $P2_1/n$; $a = 17.453(8)$, $b = 9.431(5)$, $c = 19.672(11) \text{ \AA}$, $\beta = 116.23(2)^\circ$, $V = 2905(2) \text{ \AA}^3$, $Z = 4$, $D_c = 1.757 \text{ g cm}^{-3}$; $\mu(\text{Mo-K}\alpha) = 42.1 \text{ cm}^{-1}$. $\theta/2\theta$ -scan ($4^\circ \leq 2\theta \leq 56^\circ$; $-20 \leq h \leq 20$, $0 \leq k \leq 12$, $0 \leq l \leq 26$); 6812 unabhängige Reflexe mit 3459 signifikanten Strukturfaktoren ($|F_o| > 4\sigma |F_o|$); Absorptionskorrektur (DIFABS [29]). Lösung und Verfeinerung durch Direkte Methoden und anschließende Vollmatrix-LSQ-Verfahren; anisotrope Auslenkungsparameter für alle Nicht-H-Atome; H-Atome in geometrisch idealisierten Positionen mit isotropem Verhalten (Siemens SHELXTL PLUS); Gütefaktoren: $R = 0.116$ und $wR_F = 0.088$ für alle 6812 Daten, $R = 0.051$ und $wR_F = 0.070$ für 3459 $|F_o| > 4\sigma |F_o|$; minimierte Funktion: $\Sigma w(|F_o| - |F_c|)^2$ mit $w = 1/[\sigma^2(F_o) + 0.005 (F_o^2)]$. Ergebnisse in Tab. 6.

6.4.5. *cis,cis*-[W(CO)₂(NO)(η^1 -Ph₂PC₆H₄NH₂-2)-(η^2 -Ph₂PC₆H₄NH₂-2)][SbF₆]⁻ · 0.5Et₂O · 0.5CH₂Cl₂
Einkristalle aus CH₂Cl₂/Ether; Kristallgröße ca. 0.3 × 0.3 × 0.2 mm; Siemens R3m/V (-40°C); Mo-K α -Strahlung ($\lambda = 0.71073 \text{ \AA}$); $M_r = 1139.76$ (C_{40.5}H₃₈ClF₆N₃O_{3.5}P₂SbW); triklin $P\bar{1}$; $a = 10.843(3)$, $b = 19.002(4)$, $c = 22.222(6) \text{ \AA}$, $\alpha = 95.87(2)$, $\beta = 103.68(2)$, $\gamma = 100.43(2)^\circ$, $V = 4324(2) \text{ \AA}^3$, $Z = 4$, $D_c = 1.751 \text{ g cm}^{-3}$; $\mu(\text{Mo-K}\alpha) = 36.6 \text{ cm}^{-1}$. $\theta/2\theta$ -scan ($4^\circ \leq 2\theta \leq 48^\circ$; $-10 \leq h \leq 10$, $-21 \leq k \leq 21$, $0 \leq l \leq 25$); 12914 unabhängige absorptionskorrigierte Strukturfaktoren (DIFABS). Lösung durch Direkte Methoden; Verfeinerung nach Blockmatrix-LSQ-Verfahren mit anisotropen Auslenkungsparametern für alle Nicht-H-Atome; H-Atome in geometrisch idealisierten Positionen mit isotropem Verhalten (Siemens SHELXTL PLUS); $R = 0.054$ und $wR_F = 0.036$ für alle 12914 Daten; minimierte Funktion: $\Sigma w(|F_o| - |F_c|)^2$ mit $w = 1/\sigma^2(F_o)$. Ergebnisse in Tab. 7.

6.4.6. *cis,cis*-[W(CO)(NO)(η^2 -Ph₂PC₆H₄NH₂-2)₂][BF₄]⁻ · H₂O

Kristallzucht aus CH₂Cl₂/Ether; Kristallgröße ca. 0.15 × 0.2 × 0.25 mm; Siemens R3m/V (0°C); Mo-K α -Strahlung ($\lambda = 0.71073 \text{ \AA}$); $M_r = 901.30$ (C₃₇H₃₄BF₄N₃O₃P₂W); triklin $P\bar{1}$; $a = 13.450(5)$, $b = 18.308(9)$, $c = 19.000(9) \text{ \AA}$, $\alpha = 112.71(4)$, $\beta = 91.43(4)$, $\gamma = 101.65(4)^\circ$, $V = 4199(3) \text{ \AA}^3$, $Z = 4$, $D_c = 1.426 \text{ g cm}^{-3}$; $\mu(\text{Mo-K}\alpha) = 29.8 \text{ cm}^{-1}$. $\theta/2\theta$ -scan ($4^\circ \leq 2\theta \leq 50^\circ$; $-10 \leq h \leq 10$, $-20 \leq k \leq 20$, $0 \leq l \leq 21$); 10802 unabhängige Reflexe mit 7217 signifikanten Strukturfaktoren ($|F_o| > 6\sigma |F_o|$); Absorptionskorrektur (DIFABS). Lösung durch Pattersonsynthese; Verfeinerung nach Blockmatrix-LSQ-Verfahren; anisotrope Auslenkungsparameter für alle W-, P-, O-, N- und C-Atome; [BF₄]⁻-Anionen als starre Gruppen mit paarweise

fehlgeordneten F-Atomen (Besetzungs faktoren 0.6 und 0.4) isotrop; H-Atome in geometrisch idealisierten Positionen mit gleichfalls isotropem Verhalten (Siemens SHELLXTL PLUS); Gütefaktoren: $R = 0.099$ und $wR_F = 0.103$ für alle 10802 Daten, $R = 0.069$ und $wR_F = 0.086$ für 7217 $|F_o| > 6\sigma |F_o|$; minimierte Funktion: $\Sigma w(|F_o| - |F_c|)^2$ mit $w = 1$. Ergebnisse in Tab. 8.

Dank

Die Arbeit wurde vom Fonds der Chemischen Industrie und vom Schweizer Nationalfonds in großzügiger Weise unterstützt. J. Pietsch dankt dem Freistaat Bayern für Förderung durch ein Promotionstipendium. Der weitere Dank von L. Dahlenburg geht noch an Herrn Professor Dr. K. Brodersen für die Bereitstellung von Sach- und Personalmitteln sowie an Herrn Professor Dr. D. Sellmann für die Ermöglichung eines Teils der Kernresonanzuntersuchungen.

Literatur und Bemerkungen

- 1 D.H. Gibson und Y.S. El-Omrani, *Organometallics*, **4** (1985) 1473.
- 2 (a) P.L. Gaus, S.C. Kao, K. Youngdahl und M.Y. Dahrensborg, *J. Am. Chem. Soc.*, **107** (1985) 2428; (b) P.A. Tooley, C. Ovalles, S.C. Kao, D.J. Dahrensborg und M.Y. Dahrensborg, *J. Am. Chem. Soc.*, **108** (1986) 5465.
- 3 J.-F. Reynoud, J.-F. Leboeuf, J.-C. Leblanc und C. Moïse, *Organometallics*, **5** (1986) 1863.
- 4 S.M. Geraty, P. Harkin und J.G. Vos, *Inorg. Chim. Acta*, **131** (1987) 217.
- 5 T. Ito, M. Koga, S. Kurishima, M. Natori, N. Sekizuka und K. Yashioka, *J. Chem. Soc., Chem. Commun.*, (1990) 988.
- 6 J.-S. Song, D.J. Szalda, R.M. Bullock, C.J.C. Lawrie, M.A. Rodkin und J.R. Norton, *Angew. Chem.*, **104** (1992) 1280; *Angew. Chem., Int. Ed. Engl.*, **31** (1992) 1233.
- 7 P. Kundel und H. Berke, *J. Organomet. Chem.*, **335** (1987) 353.
- 8 (a) A.A.H. van der Zeijden, H.W. Bosch und H. Berke, *Organometallics*, **11** (1992) 2051; (b) A.A.H. van der Zeijden und H. Berke, *Helv. Chim. Acta*, **75** (1992) 513; (c) A.A.H. van der Zeijden, D. Veghini und H. Berke, *Inorg. Chem.*, **31** (1992) 5106.
- 9 C. Bianchini, C. Mealli, A. Meli, M. Peruzzini und F. Zanobini, *J. Am. Chem. Soc.*, **110** (1988) 8725.
- 10 W.D. Harman und H. Taube, *J. Am. Chem. Soc.*, **117** (1990) 2261.
- 11 E.W. Abel, I.S. Butler und J.G. Reid, *J. Chem. Soc.*, (1963) 2068.
- 12 (a) W.A. Schenk, *J. Organomet. Chem.*, **117** (1976) C97; (b) W.A. Schenk, *J. Organomet. Chem.*, **139** (1977) C63; (c) W.A. Schenk, *J. Organomet. Chem.*, **179** (1979) 253.
- 13 H. Berke und C. Sontag, *Z. Naturforsch.*, **40b** (1985) 794.
- 14 H. Berke und P. Kundel, *Z. Naturforsch.*, **41b** (1986) 527.
- 15 G. L. Hillhouse und B.L. Haymore, *Inorg. Chem.*, **26** (1987) 1876.
- 16 (a) W.H. Hersh, *J. Am. Chem. Soc.*, **107** (1985) 4599; (b) R.V. Honeychuck und W.H. Hersh, *Inorg. Chem.*, **26** (1987) 1826; (c) R.V. Honeychuck und W.H. Hersh, *Inorg. Chem.*, **28** (1989) 2869.
- 17 W.H. Hersh, *Inorg. Chem.*, **29** (1990) 713.
- 18 W.A. Schenk und W. Buchner, *Inorg. Chim. Acta*, **70** (1983) 189.
- 19 P.E. Garrou, *Chem. Rev.*, **81** (1981) 229.
- 20 (a) A.J. Nielson und J.M. Waters, *Polyhedron*, **1** (1982) 561; (b) D.C. Bradley, R.J. Errington, M.B. Hursthouse, A.J. Nielson und R.L. Short, *Polyhedron*, **2** (1983) 843.
- 21 M.K. Cooper, J.M. Downes und P.A. Duckworth, *Inorg. Synth.*, **25** (1989) 129.
- 22 J.E. Hoots, T.B. Rauchfuss und D.A. Wroblewski, *Inorg. Synth.*, **21** (1982) 175.
- 23 W. Strohmeier und F.-J. Müller, *Chem. Ber.*, **102** (1969) 3608.
- 24 T.S.A. Hor, *Inorg. Chim. Acta*, **143** (1988) 3.
- 25 Definitionen der angegebenen Gütefaktoren: $R = \sum |F_o| - |F_c| / \sum |F_o|$; $wR_F = [\sum w(|F_o| - |F_c|)^2 / \sum w |F_o|^2]^{1/2}$; $wR_{F^2} = [\sum w(F_o^2 - F_c^2)^2 / \sum w(F_o^2)^2]^{1/2}$. Weitere Einzelheiten zu den Kristallstrukturuntersuchungen können beim Fachinformationsszentrum Karlsruhe, D-76344 Eggenstein-Leopoldshafen, unter Angabe der Hinterlegungsnummer CSD-57779, der Autoren und des Zeitschriftenzitals angefordert werden.
- 26 G.M. Sheldrick, *SHELX86 – Program for Crystal Structure Solution from Diffraction Data*, Universität Göttingen, 1986.
- 27 G.M. Sheldrick, *SHELX76 – Program for Crystal Structure Determination*, University of Cambridge, 1976.
- 28 G.M. Sheldrick, *SHELX93 – Program for the Refinement of Crystal Structures from Diffraction Data*, Universität Göttingen, 1993.
- 29 N. Walker und D. Stuart, *DIFABS – Program for Correcting Diffractometer Data for Absorption Effects*, *Acta Crystallogr., Sec. A*, **39** (1983) 158.